

## Sr-Nd شیمی کانی، ژئوکرونولوژی و ژئوشیمی ایزوتوبی گرانیت‌های آیراکان

\* سولماز بلوچی<sup>\*</sup>، محمود صادقیان، حبیب‌الله قاسمی؛

دانشگاه صنعتی شاهروود، دانشکده علوم زمین، شاهروود، ایران

جای مینگو، چیولی لی، ژانگ یانبین؛

آکادمی علوم چین، مؤسسه زمین‌شناسی و ژئوفیزیک، پکن، چین

دریافت ۹۶/۰۹/۰۸ پذیرش ۹۶/۱۲/۰۶

### چکیده

گرانیت‌های آیراکان به‌وسيع ۱۲ کيلومتر مربع در شمال خاور روتاستي محمدآباد كوره‌گز از توابع شهرستان خور و بیابانک و در انتهای ترین بخش شمال خاوری نوار دگرگونی-آذرین جندق-عروسان رخمنون دارد. بخش غالب اين گرانیت‌ها، از بيويت‌گرانیت‌های پورفiroئيدی تشکيل شده است. چندين دايک و آپوفيز گرانیتی آپليتي لوکوكرات به عنوان فاز ماگمايی متأخر، بيويت‌گرانیت‌های پورفiroئيدی را قطع كرده‌اند. هر دو نوع سنگ دگرشکلی شکل‌پذير (ميلونيتی شدن) و شکننده (کاتاكلاستي یا خردشگي) شديدي را متحمل شده‌اند. شدت ميلونيتی شدن، در بيويت‌گرانیت‌های پورفiroئيدی به‌مراتب بيش‌تر است. بر اساس ويژگی‌های ژئوشيمياي، مقادير نسبت‌های ايزوتوبی  $i^{87}\text{Sr}/^{86}\text{Sr}$ ،  $i^{143}\text{Nd}/^{144}\text{Nd}$  و  $\epsilon_{\text{Nd}}$ ، بيويت گرانیت‌های پورفiroئيدی ميلونيتی شده و گرانیت‌های آپليتي آيراکان، در دسته گرانیت‌وئيدهای پرآلومين نوع S قرار می‌گيرند. به‌ترتیب مقادير  $i^{87}\text{Sr}/^{86}\text{Sr}$  و  $i^{143}\text{Nd}/^{144}\text{Nd}$  ( $0/0.5115227$  و  $0/0.712490$ )، هماه با مقادير منفي ( $\epsilon_{\text{Nd}} = -8/19$  و  $-7/13$ ) برای بيويت گرانیت‌های پورفiroئيدی و گرانیت‌های آپليتي، نشان‌دهنده سرچشممه گرفتن آن‌ها از ذوب پوسته قاره‌ای متاپليتي است. بر اساس سن‌سنجي U-Pb روی زيرکن، بيويت گرانیت‌های پورفiroئيدی و گرانیت‌های آپليتي آيراکان، به‌ترتیب دارای سن‌های  $545 \pm 11$  و  $537 \pm 3/8$  ميليون سال پيش هستند. اين مقادير، نتيجه سن‌سنجي U-Pb قبلی ( $549 \pm 15$  ميليون سال پيش) را نيز تأييد می‌کند. بنا بر اين گرانیت‌های آيراکان يقيناً، بخشی از سرزمين‌های پی‌سنگی و گندوانايي ايران به سن اوخر نئوپروتروزويك-اوایل کامبرين هستند.

واژه‌های کلیدی: گرانیت، آپليت، ميلونيتی شدن، نئوپروتروزويك، گندوانا، جندق، عروسان، خور و بیابانک، آيراکان.

### مقدمه

سرزمين‌های دگرگونی-آذرین نئوپروتروزويك‌پایاني-کامبرين‌زيرين حدفاصل جندق تا آيراکان واقع در شمال شهرستان خور و بیانک و مشهور به نوار دگرگونی جندق-عروسان (شکل ۱)، به عنوان بخشی از سرزمين‌های پی‌سنگی ايران مرکزي، دارای طيف سنگ‌شناختي بسيار متنوعی هستند که عبارت است از: متاپليتها (فيلييت، ميكاشيسن و گارنت ميكاشيسن، گارنت-استاروليت شيسن)، گارنت-کيانيت شيسن، گنيس و گارنت گنيس)، متاكربنات‌ها (مرمرهای

کلستیتی-دلومیتی)، متاپاریت‌ها (شیسته‌های سیز، آمفیبولیت‌ها و گارنت آمفیبولیت‌ها)، مجموعه افیولیتی دگرگون شده (دونیت‌ها، هارزبورژیت‌ها، سرپانتینیت‌ها و بازالت‌های دگرگون شده)، متاپاسامیت‌ها (متاسنیدستون و متاگریوک) و همچنین چند توده کوچک گرانیتی به شدت میلونیتی شده. بیوتیت گرانیت‌های پورفیروئیدی و گرانیت‌های آپلیتی میلونیتی شده آیراکان که در انتهایی ترین بخش شمال خاوری نوار جندق-عروسان رخمنون دارد.

پژوهش‌های باباخانی و همکاران [۱] و محافظه و همکاران [۲]، میبن آن است که گرانیت‌های آیراکان، گرانیت-گنیس‌هایی به سن پروتزوژئیک پسین هستند. بهارزاده [۳] و بهارزاده و همکاران [۴] گرانیتوئیدهای آیراکان را گرانیت‌های میلونیتی شده معرفی کرده‌اند. بر اساس سن سنجی به روش Rb-Sr که توسط پروژه تکنواکسپورت [۵] انجام شده، سن گرانیت‌های آیراکان  $168 \pm 8$  میلیون سال معادل با ژوراسیک میانی گزارش شده است. باقری و اشتامفلی [۶] گرانیت‌های آیراکان را گرانیت‌گنیس دانه‌درشت، پرآلومین تا گرانیت میلونیتی شده و آپلیت معرفی کرده‌اند. لازم به ذکر است، باقری و اشتامفلی [۶] بر اساس سن سنجی به روش U-Pb روی زیرکن‌های نمونه‌ای از گرانیت‌های آیراکان، سن  $549 \pm 15$  میلیون سال معادل با نئوپروتزوژئیک پایانی را برای این گرانیت‌ها گزارش کرده‌اند.

بهدلیل این که دامنه‌های کم ارتفاع رخمنون گرانیت‌های آیراکان را مارن‌های میوسن و در بخش کوچکی کنگلومراهای سرشار از قلوه‌های گرانیتی (شکل ۲) به طور تقریباً کامل پوشانده است، ارتباط صحرایی این گرانیت با سایر سنگ‌های واپسته به مجموعه دگرگونی-آذرین جندق در منطقه آیراکان عملاً مشخص نیست. از سوی دیگر، برخی از روش‌هایی که برای تعیین سن این گرانیت به شدت میلونیتی شده، به کار گرفته شده است (نظیر روش سن سنجی K-Ar و Rb-Sr [۵]) روش‌های مناسب و کارآمدی نیستند، اگرچه ممکن است در زمان انجام این تعیین سن‌ها، روش‌های ذکر شده، منطقی‌ترین و به صرفه‌ترین روش تعیین‌سن به حساب می‌آمد و در حد خود، نوعی نوآوری محسوب می‌شد. در نتیجه در مورد سن و جای گاه تکتونوماگمایی گرانیت‌های آیراکان، اختلاف نظرهایی وجود داشت و انجام تحقیقی مبتنی بر روش‌های مطالعاتی نوین و دقیق برای برطرف شدن ابهام‌ها و روشن شدن برخی حقایق ضروری به نظر می‌رسید. بنابراین در راستای بررسی مجموعه دگرگونی-آذرین جندق که بخشی از رساله دکترای نگارنده اول این مقاله است، سعی شد از سنگ‌های مربوط به هر یک از فازهای ماقمایی سازنده گرانیت‌های آیراکان، نماینده یا نمونه سنگی مستقلی برای تعیین‌سن انتخاب شود. نمونه‌های سنگی منتخب با روش U-Pb روی زیرکن، که نسبت به سایر روش‌های تعیین‌سن مرسوم کنونی برای گرانیت‌ها مناسب‌تر است و حوادث بعدی نظیر میلونیتی‌شدن و دگرسانی بر نتایج آن تأثیرات کمتری بر جای می‌گذارند، مورد تعیین سن قرار گرفته‌اند. علاوه بر نتایج سن سنجی‌های جدید، از ویژگی‌های رئوژیمیایی و ایزوتوبی هر دو نوع گرانیت‌های آیراکان و در مواردی نتایج تجزیه‌شیمیایی جدید چند مورد از سایر گرانیت‌های مشابه قطع‌کننده مجموعه دگرگونی-آذرین جندق-عروسان، برای درک بهتر وقایع، استفاده شده است.

## روش پژوهش

پس از مرور پژوهش‌های پیشین (شامل نقشه‌ها، گزارش‌ها، پایان‌نامه‌ها و مقالات)، انجام بازدیدهای دقیق صحرایی و برداشت‌های نمونه‌های سنگی مناسب، مقاطع نازک و نازک-صیقلی تهیه شده از گرانیت‌های آیراکان در آزمایشگاه اپتیک دانشکده علوم‌زمین، دانشگاه صنعتی شاهرود بررسی شد. سپس نمونه‌های دارای کمترین دگرسانی برای تجزیه

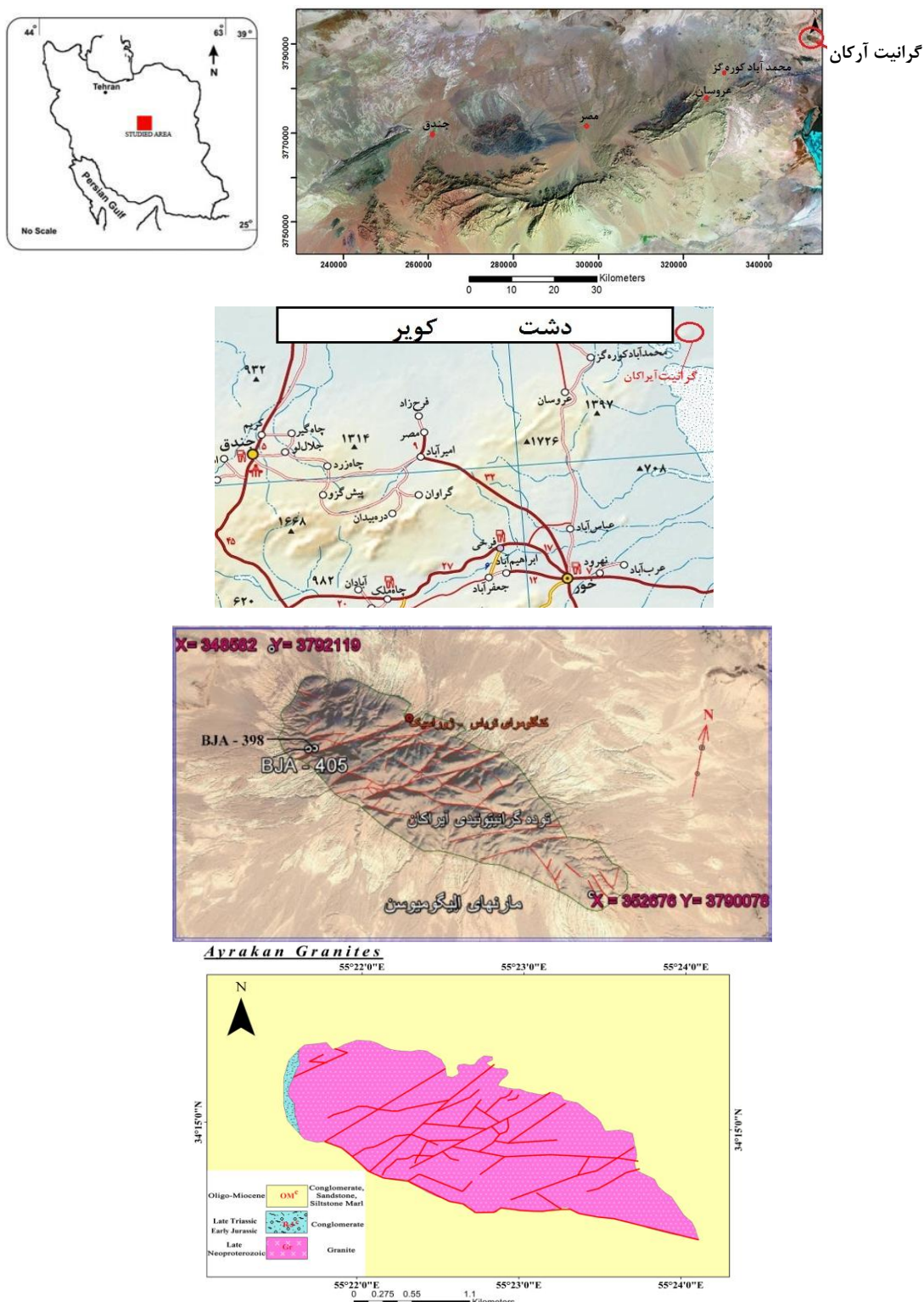
ژئوشیمیایی سنگ کل، تعیین شیمی کانی‌ها به روش مایکرورپوب، تعیین ویژگی‌های ایزوتوپی و سن‌سنجی به روش U-Pb انتخاب شدند. مقادیر عناصر اصلی به روش XRF و عناصر کمیاب به روش ICP-MS تعیین شد. نسبت‌های ایزوتوپی Sr-Nd به روش TIMS اندازه‌گیری شد. سن‌سنجی U-Pb روی زیرکن‌های جدا شده از نمونه‌ها به روش SIMS انجام شد. همه این آزمایش‌ها، در مؤسسه زمین‌شناسی و ژئوفیزیک آکادمی علوم چین در شهرهای پکن و شیان انجام شده‌اند. در نهایت، براساس برداشت‌های صحرایی و نتایج بررسی‌های آزمایشگاهی به‌ویژه سن‌های جدید، نقشه زمین‌شناسی منطقه اصلاح و تهیه و ترسیم شد (شکل ۱).

### زمین‌شناسی منطقه

گرانیت‌های آیراکان با وسعت تقریبی ۱۲ کیلومتر مربع، در منتهی‌الیه شمال خاوری استان اصفهان (شمال خاور شهرستان خور و بیابانک)، و به عبارت دقیق‌تر در ۳۰ کیلومتری شمال خاوری روستای مخروبه محمدآباد کوره گز در بین طول‌های جغرافیایی  $۱۹^{\circ} ۵۵' ۵۵''$  تا  $۲۷^{\circ} ۲۷' ۵۵''$  خاوری و عرض‌های جغرافیایی  $۱۳^{\circ} ۳۴' ۱۶''$  تا  $۱۶^{\circ} ۳۴'$  شمالی، در سرزمین بسیار دور افتاده‌ای رخنمون دارد (شکل‌های ۱ و ۲). مارن‌های الیگومیوسن تا کیلومترها، سرزمین‌های اطراف را پوشانده‌اند و تنها راه دسترسی به این گرانیت‌ها از میان شوره‌زارها و سرزمین‌های باتلاقی با بسترهای از مارن‌های الیگومیوسن گذر می‌کند که در برخی از فصل‌های سال به‌ویژه زمستان دسترسی به این گرانیت را گاه غیرممکن می‌سازد. این گرانیت با راستای کلی شمال‌باخته‌ی-جنوب‌خاوری رخنمون کم ارتفاعی را به‌خود اختصاص می‌دهد که اختلاف ارتفاع آن از زمین‌های اطراف، حداقل  $۲۰۰$  متر می‌رسد. دامنه‌های کم ارتفاع این رخنمون، تقریباً به‌طور کامل به‌وسیله مارن‌های الیگومیوسن پوشیده شده‌اند. تنها در برخی دره‌های عمیق که مارن‌های الیگومیوسن بریده شده‌اند یا به‌عبارتی فرسایش‌پیدا کرده‌اند، مشخص (نمایان) می‌شود که کنگلومراهای سرشار از قلوه‌های گرانیتی نیز گرانیت‌های آیراکان را پوشانده‌اند (شکل ۲). بنابراین در پیرامون گرانیت‌های آیراکان، پیدا کردن رابطه عینی گرانیت‌های آیراکان و مجموعه دگرگونی-آذرین جندق عملاً امکان‌پذیر نیست و برای یافتن رابطه صحرایی این گرانیت‌ها و مجموعه نامبرده، باید از رخنمون‌های گرانیتی با تاریخچه زمین‌شناسی مشابه در سرزمین‌های هم‌جوار کمک گرفت.

مجموعه دگرگونی-آذرین جندق را توده‌های گرانیتی متعددی قطع کرده است که با گرانیت‌های آیراکان دارای ویژگی‌های سنگ‌شناسی مشابه بسیار زیادی هستند و ما را در فهم روابط صحرایی بین آن‌ها و سنگ‌های میزانشان و هم‌چنین مجموعه دگرگونی-آذرین جندق عروسان یاری می‌کنند. نمونه‌های بارز این توده‌های گرانیتی عبارتند از: ۱. شمال خاور چاه زرد، ۲. جنوب‌باخته اوسان، ۳. خاور کلاته قبر، ۴. شمال ابراهیم زهراء، ۵. شمال معدن تالک چاه زرد. در پیرامون چاه حسین‌آقا و خاور کلاته قبر شواهد بارزی از میگماتیت‌زایی به‌وضوح دیده می‌شود که گرانیت‌هایی با حجم‌های بسیار کم در مقیاس چند متر تا حداقل چند ده‌متر تشکیل داده است.

از بین پنج توده گرانیتی مذکور، گرانیت‌های جنوب‌باخته اوسان و شمال خاور چاه زرد (۷۵ تا  $۸۰$  کیلومتری باخت گرانیت آیراکان) بیشترین تشابه را با گرانیت‌های آیراکان نشان می‌دهند. بررسی دقیق گرانیت‌های جنوب‌باخته اوسان و روابط صحرایی آن با سنگ‌های میزانش، بخش اعظم ابهامات مربوط به رابطه توده گرانیتی آیراکان و مجموعه دگرگونی-آذرین جندق را برطرف کرد. از این‌رو، به‌شرح بسیار مختص‌ری از توده گرانیتی اوسان بسته می‌کنیم.



شکل ۱. موقعیت گرانیت های آیراکان در سرزمین ایران و در تصویر ماهواره‌ای نشان‌دهنده گستره مجموعه دگرگونی آذرین جندق-عروسان به همراه نقشه راه‌های دسترسی به منطقه و نقشه زمین‌شناسی گرانیت‌های آیراکان کنگلومراتی اواخر تریاس-اوایل ژوراسیک و مارن‌های الیگومیوسن، بیوتیت گرانیت‌های میلیونی شده (نمونه ۴۰۵) و گرانیت‌های آپلیتی آیراکان (نمونه ۳۹۸) را پوشانده‌اند

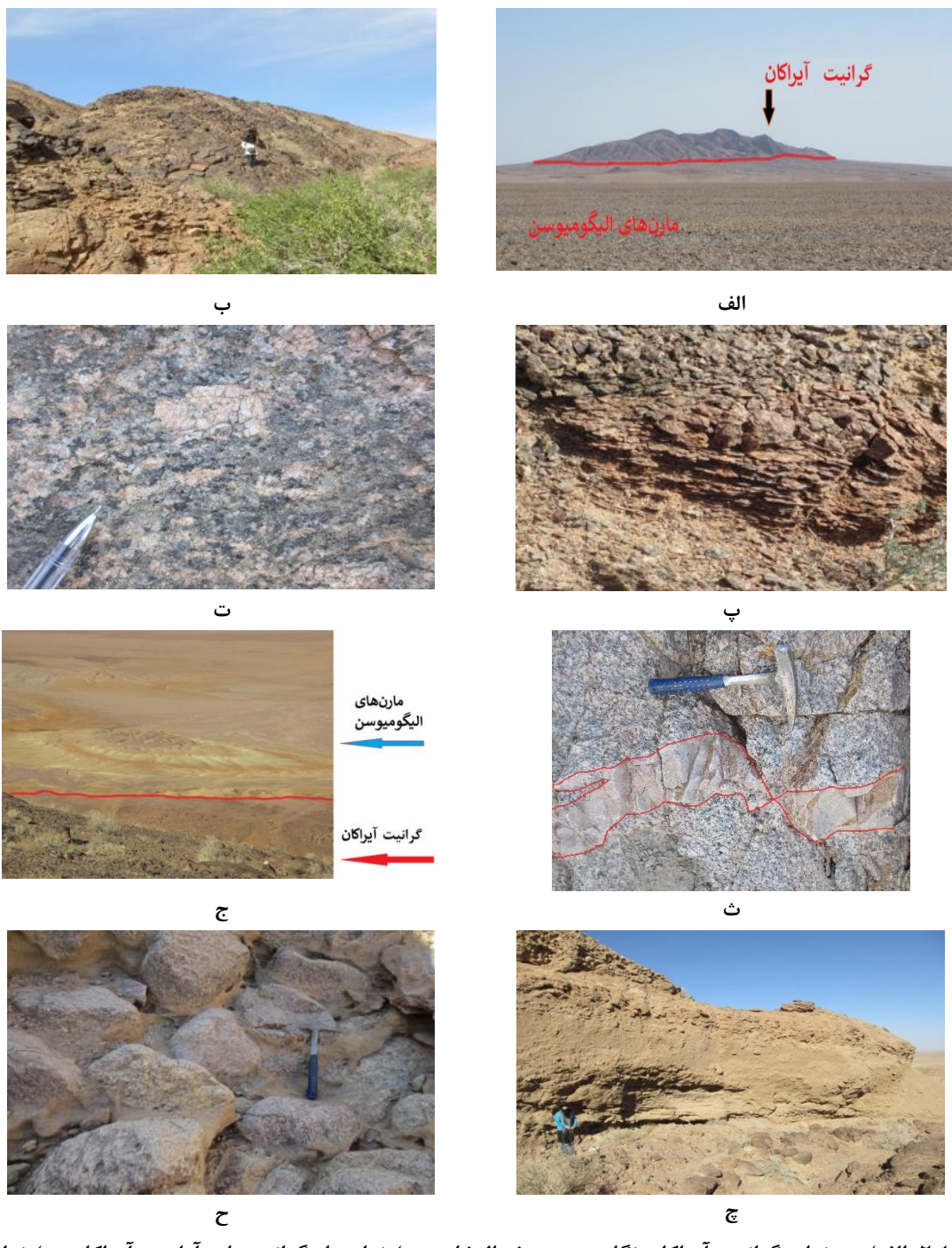
گرانیت اوسائن، از بیوتیت‌گرانیت‌های دانه‌درشت (تا پورفیروئیدی) میلونیتی شده و گرانیت آپلیتی لوکوکرات کمتر دگرشكل یافته، تشکیل شده است (شکل ۳ الف). این گرانیت در درون طیف وسیع و جالبی از سنگ‌های دگرگونی متتشکل از گارنت‌میکاشیست، آمفیبولیت، گارنت‌آمفیبولیت و مرمرهای دلومیتی و کلسیتی، تزریق شده است. این گرانیت و سنگ‌های میزبان آن، دگرشكلی شکل‌پذیر شدید را متحمل شده‌اند و ویژگی‌های منحصر به فردی را به نمایش گذاشته‌اند. دگرشكلی تحمیل شده بر گرانیت‌های جنوب‌باختر اوسائن به قدری شدید است که دایک‌های آپلیتی لوکوکرات همراه آن نیز به شدت چین خورده‌اند و مناظر زیبایی را به نمایش گذاشته‌اند (شکل ۳ ب). در بیوتیت-گرانیت‌های دانه‌درشت میلونیتی شده، نیز چین خوردگی بزرگ‌مقیاس تا ریزمقیاس، میلونیتی شدن و ایجاد پورفیروکلاست‌های ارتوکلاز، ساب‌گرین شدن دانه‌های کوارتز و فلدسپار و ایجاد سطوح برشی  $S$  و  $C$  به‌وضوح در مقیاس صحرایی و میکروسکوپی قابل مشاهده است (شکل ۳ پ تا ج و شکل ۵ ث تا ح). پرداختن بیشتر به‌ویژگی‌های سنگ‌شناسی سایر گرانیت‌های مشابه گرانیت آیراکان از حوصله و مجال این مقاله خارج است.

بیوتیت گرانیت درشت‌دانه تا پورفیروئیدی و گرانیت‌های آپلیتی، میلونیتی شده آیراکان، شواهد بارزی از دگریختی شکل‌پذیر (نظیر ساخت چشمی متتشکل از پورفیروکلاست‌های ارتوکلاز، اشکال سیگما، دلتا و نظایر آن) و دگریختی شکننده (خردشده‌گی کانی‌ها در دماهای پایین) نشان می‌دهند (شکل ۲ پ، ت و ث).

آپلیت‌ها فاز ماقمایی تأخیری محسوب می‌شوند که به‌صورت دایک و آپوفیز بیوتیت گرانیت‌های دانه‌درشت تا پورفیروئیدی میلونیتی شده را قطع کرده‌اند (شکل ۲ ب و ث). گرانیت‌های آپلیتی میلونیتی شدن درجه ضعیفتری را متحمل شده‌اند. بیوتیت، ارتوکلاز، میکروکلین، کوارتز و به‌مقدار کمتر پلاژیوکلاز سازندگان اصلی گرانیت آیراکان هستند. تعدادی آنکلاوهای میکاشیستی غنی از میکا (سورمیکاسه) در برخی نقاط در درون بیوتیت‌گرانیت‌های پورفیروئیدی میلونیتی شده یافت می‌شوند ولی فراوانی زیادی ندارند. گسل‌های متعددی گرانیت‌های پورفیروئیدی میلونیتی شده و گرانیت آپلیتی آیراکان را قطع کرده‌اند (شکل ۱) و دگرشكلی شکننده نسبتاً شدیدی را بر سنگ‌های سازنده این گرانیتی تحمیل کرده‌اند. شبکه‌گسلی متراکم قطع کننده این گرانیتی مؤید این امر است (شکل ۱).

توجه به این نکته ضروری است که در نگاه اول به‌نظر می‌رسد گرانیت‌های آیراکان را فقط مارن‌های رنگارانگ الیگومیوسن احاطه یا پوشانده‌اند. ولی بررسی‌های دقیق‌تر نشان می‌دهد که در بخش شمالی، رخمنون اصلی گرانیت‌ها و گرانیت‌های پورفیروئیدی میلونیتی شده به‌وسیله افق کنگلومراپی سرشار از قطعات گرانیتی پورفیروئیدی میلونیتی شده و گرانیتی سرچشمه گرفته از خود گرانیت آیراکان، پوشیده شده‌اند (شکل ۲ چ و ح).

این کنگلومراها اغلب در بخش قاعده‌ای توالی رسوبی- تخریبی تریاس پایانی - ژوراسیک زیرین و گاه به‌صورت میان‌لایه در بین توالی ذکر شده یافت می‌شوند و روی مجموعه‌های پی‌سنگی نئوپروتروزوئیک پایانی ایران مرکزی قرار گرفته است. برخی از این مجموعه‌ها عبارتند از: مجموعه دگرگونی نی‌باز (جنوب‌باختر ساغند) [۷]، مجموعه گرانیتی - گنیسی بند هزار چاه (جنوب‌باختر بیارجمند) [۸]، و [۹]، توده‌های گرانیتی میامی (جنوب‌میامی) [۱۰]، [۱۱]، مجموعه دگرگونی دلبر (جنوب و باختر پاسگاه محیط بانی دلبر-خارتوران) [۱۲]، [۱۳]، مجموعه دگرگونی دوچاه (جنوب دوچاه)، مجموعه دگرگونی ماجراج (شمال‌باختر ماجراج) [۱۲]، مجموعه دگرگونی-آذرین جندق (خاور جندق تا عروسان و آیراکان). در مناطق دارای سرگذشت زمین‌شناسی مشابه، جایگاه چینه‌شناختی این کنگلومراها (یعنی اواخر تریاس تا ژوراسیک زیرین) برای آن‌ها کاملاً شناخته شده و محرز است [۱۴].



شکل ۲. (الف) دورنمای گرانیت آیراکان نگاه به سوی شمال خاور، (ب) نمایی از گرانیت‌های آپلیتی آیراکان (پ) نمای نزدیکی از بیوتیت‌گرانیت دانه‌درشت تا پورفیری بهشدت میلونیتی شده، (ت) پورفیروئید یا مگاکریست ارتوكلازهای درشت در بیوتیت‌گرانیت دانه‌درشت تا پورفیری بهشدت میلونیتی شده، (ث) نمای نزدیکی از بیوتیت‌گرانیت‌های پورفیروئیدی آیراکان که توسط دایک‌های گرانیتی آپلیتی کرم تا صورتی رنگ قطع شده است، (ج) همبrijی بین گرانیت آیراکان و مارن‌های الیگومیوسن (پوشاننده آن) (نگاه به سوی شمال)، (چ) دورنمایی از کنگلومرای اوخر تریاس- اوایل ژوراسیک در قاعده مارن‌های الیگومیوسن (نگاه به سوی شمال باختری) و (ح) نمای نزدیکی از قله‌های گرانیتی سرچشمه گرفته از توده گرانیتی آیراکان در شمال باختری گرانیت آیراکان



شکل ۳. الف) نمای نزدیکی از بیوتیت گرانیت‌های دانه درشت جنوب‌باخته اوستان که گرانیت‌های آپلیتی لوکوکرات غالباً به موازات برگوارگی آن‌ها نفوذ کرده و در درون آن‌ها جای گرفته‌اند، ب) چین خورده‌گی بیوتیت گرانیت‌های دانه درشت جنوب‌باخته اوستان و گرانیت‌های آپلیتی لوکوکرات همراه آن‌ها، پ) ریزچین‌های بسیار زیبا در بیوتیت گرانیت‌های دانه درشت میلونیتی شده جنوب‌باخته اوستان، ت) نمای بسیار نزدیکی از پورفیروکلاست‌های ارتوکلاز دارای ساخت چشمی در گرانیت‌های دانه درشت میلونیتی شده جنوب‌باخته اوستان، ث) تصویری از جای گیری چین دگرشکلی بیوتیت گرانیت‌های دانه درشت در درون سنگ‌های گارنت میکاشیستی میزبان به سن پروتروزوئیک پسین، همراه با چین‌های بی‌ریشه یا تیگماتیک بسیار زیبا در باریکه‌های نواری گرانیتی دانه درشت و ج) تصویری از به دام افتادن سنگ‌های میکاشیستی در بین نوارهایی از بیوتیت گرانیت‌های دانه درشت در جنوب‌باخته اوستان

### سنگ‌نگاری

بیوتیت‌گرانیت‌های دانه درشت تا پورفیروئیدی میلونیتی شده، دارای ساخت و بافت عمدتاً کاتاکلاستی و میلونیتی هستند. کانی‌های اصلی گرانیت‌های پورفیروئیدی میلونیتی شده شامل کوارتز، ارتوکلاز، میکروکلین، پلاژیوکلاز، بیوتیت

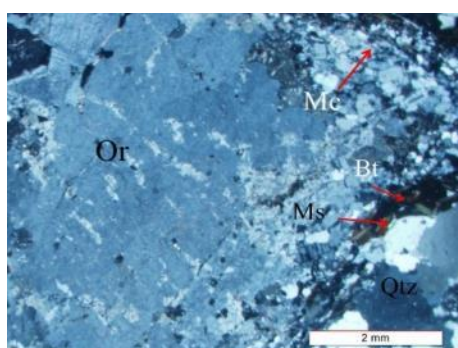
و مقداری مسکوویت هستند. ارتوکلاز، فراوان ترین پورفیروئید و پورفیروکلاست موجود در این سنگ‌ها است (شکل ۴). وجود پورفیروکلاست‌های بزرگ آلکالی فلدسپار و دگریختی آن‌ها به ظهر ساخت و بافت چشمی در گرانیت‌های پورفیروئیدی میلونیتی شده منجر شده است (شکل ۲). سنگ‌های میلونیتی، نمایان‌گر محصولات دگریختی اساساً شکل‌پذیر هستند. بخش عمده مسکوویت حاصل تبدیل بیوتیت به مسکوویت و یا ارتوکلاز به مسکوویت طی فرایند میلونیتی شدن هستند و جزء کانی‌های اصلی سنگ به حساب نمی‌آیند.

در مقاطع نازک ارتوکلاز به صورت چشمی، دانه‌درشت و غالباً پرتیتی قابل مشاهده است و برخی از دانه‌های ارتوکلاز به دلیل تحمل تنش‌های تکتونیکی به میکروکلین تحول یافته‌اند (شکل ۴). تبدیل ارتوکلاز به میکروکلین، با تغییر سیستم بلوری با درجه تقارن بیشتر، به سیستم بلوری با درجه تقارن کمتر (تبدیل سیستم منوکلینیک ارتوکلاز به سیستم تریکلینیک میکروکلین) همراه است که از جمله شواهد بر جسته میلونیت‌زایی در گرانیت‌ها و گرانیت‌های پورفیروئیدی میلونیتی شده به حساب می‌آید [۱۵، ۱۶].

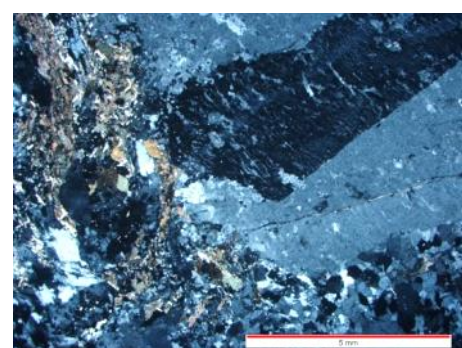
از دیگر شواهد میلونیت‌زایی، ریزدانه شدن، شکل‌های ماهی‌گون در میکاها و فلدسپارها و اشکال سیگماهی و دلتایی در بلورهای شکننده سخت نظری فلدسپارها است [۱۵، ۱۷]. زیرکن، کانی فرعی باز این سنگ‌ها محسوب می‌شود. کلربیت محصول دگرسانی بیوتیت و کانی ثانویه است. لازم به یادآوری است که میلونیت‌ها معمولاً در پهنه‌های وابسته به گسل‌ها، راندگی‌ها یا زون‌های برشی و در محیط‌های نسبتاً دما بالا تشکیل می‌شوند [۱۵، ۱۸].

نمونه‌های سنگی متعلق به دایک‌ها و آپوفیرهای آپلیتی گرانیتی، دانه‌ریز هستند و بافت ریزدانه نیمه شکل‌دار نشان می‌دهند. کانی‌های اصلی آن‌ها شامل کوارتز، ارتوکلاز، میکروکلین، پلاژیوکلاز و به مقدار کم بیوتیت است (شکل ۴). برخی از دانه‌های ارتوکلاز به دلیل تحمل تنش‌های تکتونیکی زیاد به میکروکلین تحول یافته‌اند. مسکوویت به عنوان محصول تغییر و تحولات همراه با میلونیت تشکیل شده است.

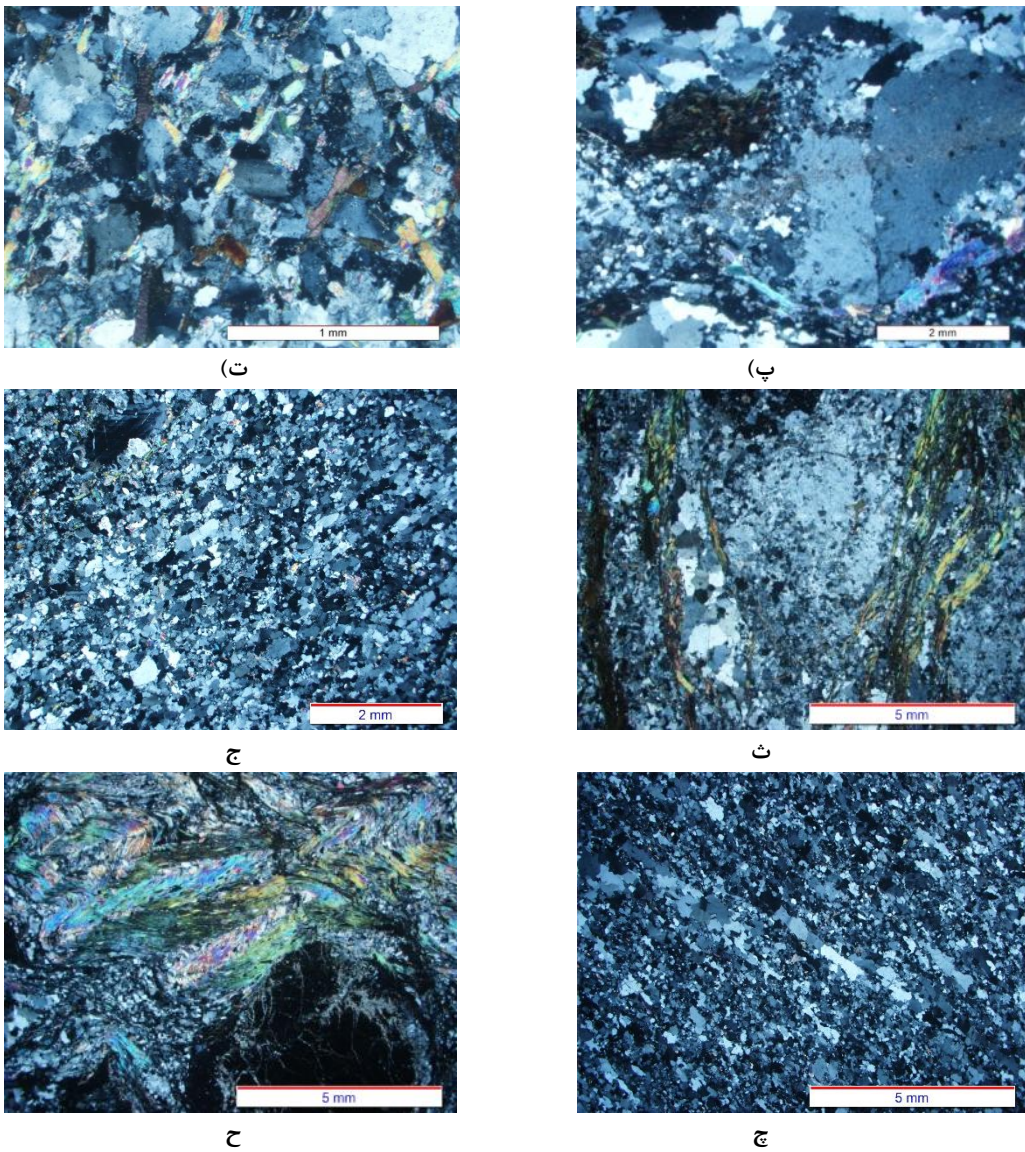
در شکل ۴ ث تا ح برخی از ویژگی‌های میکروسکوپی بارز گرانیت جنوب‌باقتر اوسائن و گارنت‌میکاشیست‌های میزبان آن به طور بسیار خلاصه نشان داده شده‌اند. به دانه‌ریز شدن کوارتز و ارتوکلاز، ردیف‌شدگی بیوتیت‌ها و آرایش مورب دانه‌ها در بیوتیت‌گرانیت دانه‌درشت میلونیتی شده و گرانیت‌های آپلیتی لوکوکرات میلونیتی شده، توجه شود. مقادیر کمی بیوتیت و مسکوویت آپلیت‌های لوکوکرات یافت می‌شود. در گرانیت‌های آپلیتی آلکالی فلدسپارها از نوع ارتوکلاز و میکروکلین هستند. گارنت میکاشیست‌های چین‌خورده و میلونیتی شده میزبان گرانیت جنوب‌باقتر اوسائن در مقیاس میکروسکوپی نیز چین‌خوردگی زیبایی نشان می‌دهند. برخی از بیوتیت‌ها در طی فرایند میلونیتی شدن به مسکوویت تبدیل شده‌اند.



(ب)



(الف)



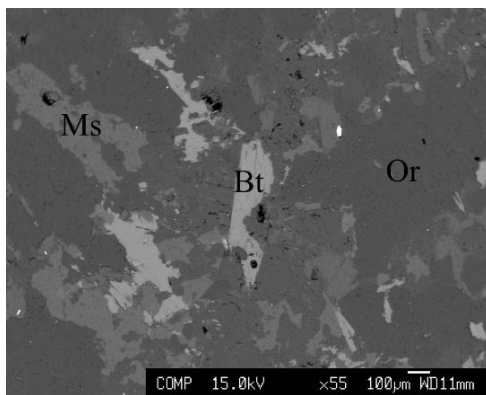
شکل ۴. تصاویر میکروسکوپی نشان‌دهنده برخی از ویژگی‌های بازگرانیت‌های آیراکان (الف تا ت) و اوسان و سنگ‌های گارنت میکاشیستی میزبان گرانیت اوسان (ث تا ح) (همه این سنگ‌ها میلیونیتی شده‌اند). الف) بیوپیت-گرانیت دانه‌درشت میلیونیتی شده، به وجود مگاکریست ارتوكلاز با ماکل کارلسbad و بافت پرتیتی زیبای ان در سمت راست تصویر توجه کنید. همچنین به دانه‌ریز شدن کوارتزها، ارتوكلازها، خاموشی موجی و پیچ و تاب‌خوردن بیوپیت‌ها توجه شود. ب و ب) پورفیروکلاست‌های ارتوكلاز پرتیتی که به طور بخشی یا مخصوصی به میکروکلین تحول پیدا کرده‌اند، همراه با بیوپیت‌هایی که به مسکوویت و کلریت تبدیل شده‌اند؛ به اشکال ماهی‌گون بیوپیت و ارتوكلاز و ریزدانه‌شدن کانی‌ها توجه کنید. ت) بافت میکروگرانولار در گرانیت‌های آپلیتی حاوی مقادیر کمی بیوپیت و مسکوویت، ث) بافت میکروگرانولار در گرانیت‌های آپلیتی که در آن‌ها بیوپیت‌های دانه ریز نیز دیده می‌شوند. ث) بیوپیت‌گرانیت دانه درشت میلیونیتی شده جنوب باختراوسان. به دانه‌ریز شدن کوارتزها و ارتوكلازها، ردیف‌شدگی بیوپیت‌ها توجه نمایید؛ ح) گرانیت‌های آپلیتی لوکوکرات میلیونیتی شده حاوی مقادیر کمی بیوپیت و مسکوویت. آکالی فلدسپارها از نوع میکروکلین و ارتوكلاز هستند. چ) گرانیت‌های آپلیتی لوکوکرات میلیونیتی شده. به آرایش مورب دانه‌های کوارتز و فلدسپارها توجه کنید. ح) گارنت میکاشیست چین‌خورده و میلیونیتی شده میزبان گرانیت جنوب باختراوسان. به چین‌خوردگی زیبای بیوپیت‌ها توجه شود. برخی از بیوپیت‌ها در طی فرایند میلیونیتی شدن به مسکوویت تبدیل شده‌اند. گارنت به صورت یک لکه سیاه نسبتاً بزرگ در پایین سمت راست تصویر دیده می‌شود. همه تصاویر در نور پلاریزه متقطع تهیه شده است

### شیمی کانی

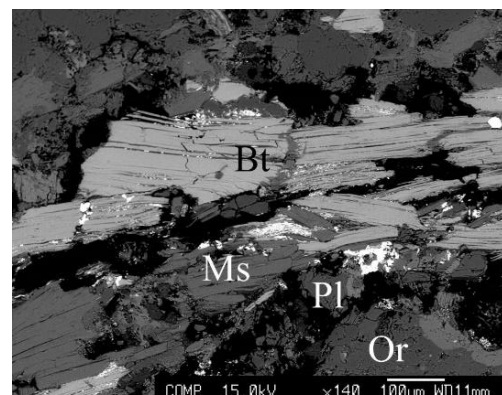
بر اساس داده‌های تجزیه نقطه‌ای (جدول ۱) و با توجه به نمودارهای [۱۹]، پلازیوکلазهای موجود در بیوتیت-گرانیت‌های پورفیروئیدی میلونیتی شده از نوع الیگوکلاز و پلازیوکلازهای موجود در گرانیت‌های آپلیتی از نوع آلبیت تا الیگوکلاز هستند. آلکالی فلدسپارها همگی در نزدیکی قطب ارتوکلاز قرار می‌گیرند، اگرچه با توجه مشاهدات میکروسکوپی حضور میکروکلین نیز در آن‌ها مسلم است. بیوتیت‌های موجود در گرانیت‌های پورفیروئیدی میلونیتی شده و گرانیت‌های آپلیتی در محدوده بیوتیت با ترکیب بین آنیت و سیدروفیلیت قرار می‌گیرند. بیوتیت‌های گرانیت‌های آپلیتی نسبت به بیوتیت‌های موجود در گرانیت‌های پورفیروئیدی میلونیتی شده دارای نسبت  $\text{Fe}/(\text{Fe}+\text{Mg})$  کمی بیشتر هستند (شکل ۵).

جدول ۱. نتایج میانگین تجزیه نقطه‌ای (EPMA) برخی از کانی‌های بیوتیت گرانیت‌های پورفیروئیدی میلونیتی شده (نمونه ۳۹۸) و گرانیت‌های آپلیتی (نمونه ۴۰۵) مجموعه آیراکان

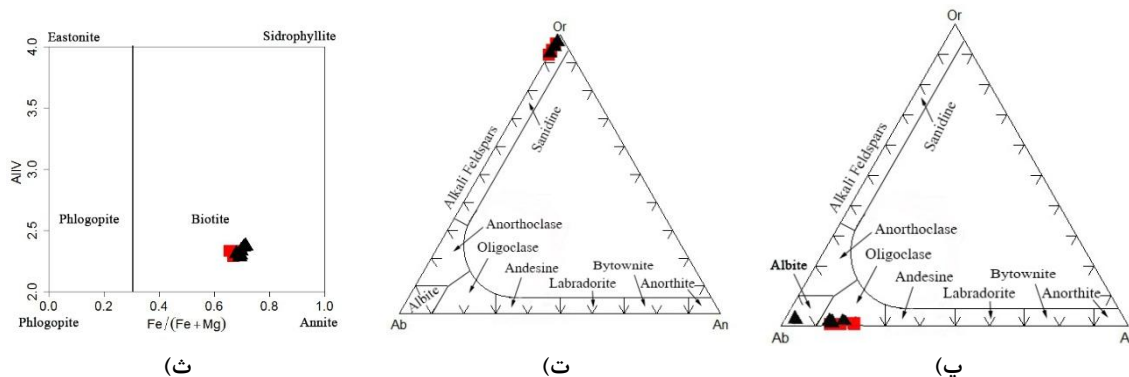
	بیوتیت		پلازیوکلاز		ارتوکلاز (میکروکلین)	
	۴۰۵	۳۹۸	۴۰۵	۳۹۸	۴۰۵	۳۹۸
$\text{SiO}_2$	۳۶/۵	۳۶/۸۳	۶۳/۴۷	۶۵/۳۸	۶۳/۴۷	۶۴/۹۳
$\text{Al}_2\text{O}_3$	۱۶/۱۹	۱۶/۳۱	۲۲/۸۳	۲۱/۰۴	۱۷/۳۵	۱۷/۹۷
$\text{FeO}$	۲۲/۲۷	۲۳/۶۳	۰/۰۱	۰/۰۴	۰/۰۱	۰/۰۱
$\text{MgO}$	۶/۵۹	۶/۰۴	۰/۰۱	۰/۰۱	۰	۰
$\text{CaO}$	۰	۰/۰۵	۳/۸۱	۲/۴۹	۰/۰۳	۰/۰۴
$\text{Na}_2\text{O}$	۰/۱۱	۰/۰۷	۹/۳۶	۹/۸۸	۰/۵۸	۰/۴۹
$\text{K}_2\text{O}$	۹/۴۸	۹/۲۷	۰/۰۸	۰/۲۵	۱۵/۶۳	۱۵/۲۹
$\text{TiO}_2$	۳	۳/۳۷	۰/۰۱	۰/۰۱	۰/۰۱	۰/۰۱
$\text{MnO}$	۰/۲۲	۰/۲۵	۰/۰۱	۰	۰/۰۱	۰/۰۱
$\text{Cr}_2\text{O}_3$	۰/۰۷	۰/۰۱	۰	۰/۰۱	۰/۰۳	۰/۰۲
Total	۹۴/۴۲	۹۵/۸۵	۹۹/۶	۹۹/۱۲	۹۷/۱۱	۹۸/۷۷



ب



الف

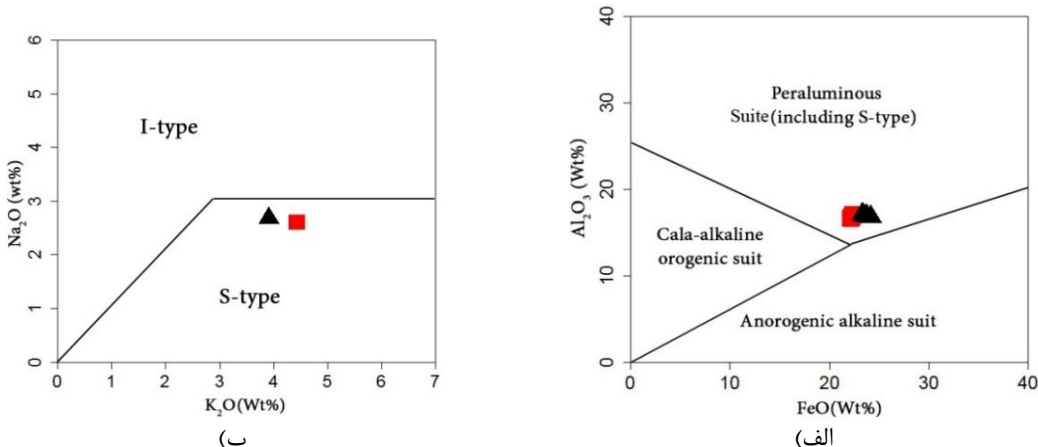


شکل ۵. الف و ب) تصاویر پس پراکنشی (Backscattered) الکترونی برخی از کانی‌های منتخب تجزیه شده به روش EPMA؛ پ) تا ث) نمودارهای رده‌بندی پلازیوکلازها و فلدسپارهای آلكالن [۱۹] و بیوتیت‌ها [۲۰]. علامت مریع: بیوتیت‌گرانیت‌های دانه‌درشت تا پورفیروئیدی میلونیتی شده، علامت مثلث گرانیت آپلتی

## بحث

### ۱. ماهیت ژئوشیمیابی گرانیت‌های آیراکان

بر اساس نمودارهای شکل ۶ از ماراکوشیو و همکاران [۲۱]، عبدالرحمن [۲۰] و چپل و همکاران [۲۲] بیوتیت‌های موجود در بیوتیت‌گرانیت‌های دانه‌درشت تا پورفیروئیدی میلونیتی شده و گرانیت‌های آپلتی آیراکان در قلمرو بیوتیت‌های گرانیت‌های نوع S قرار می‌گیرند (جدول ۲، شکل ۶). نتایج حاصل از تجزیه ژئوشیمیابی [۴] نیز این امر را تأیید می‌کنند. گرانیت‌های نوع S دارای نسبت  $A/CNK > 1/1$  (پرآلومین شدید)، مقدار زیاد  $SiO_2$  و مقدار  $< 3/2$   $Na_2O$  هستند [۲۳]، [۲۴]. این نوع گرانیت‌ها از ذوب‌بخشی سنگ‌های رسوبی پلیتی دگرگون شده و معمولاً در محیط‌های همزمان و پس از برخورد حاصل می‌شوند [۲۱]، [۲۲]. در نوارهای کوهزادی برخوردی معمولاً سنگ‌های پوسته‌ای تحت شرایط دگرگونی درجه بالا قرار می‌گیرند و در نتیجه دچار ذوب‌بخشی و آناتکسی می‌شوند که به تشکیل گرانیت‌ها یا میگماتیت‌ها منجر می‌شود [۲۵]. نمودارهای ژئوشیمیابی ارائه شده در شکل ۶ نیز نتیجه‌گیری‌ها مذکور را تأیید می‌کند.



شکل ۶. الف) نمودار  $Al_2O_3$  در مقابل  $Fe_2O_3$  [۲۱] برای بیوتیت‌های موجود در بیوتیت‌گرانیت‌های دانه‌درشت تا پورفیروئیدی میلونیتی شده و گرانیت‌های آپلتی آیراکان، ب) نمودار [۲۲] برای تفکیک گرانیت‌های S و I و قرارگیری بیوتیت‌گرانیت‌های دانه‌درشت تا پورفیروئیدی میلونیتی شده و گرانیت‌های آپلتی آیراکان در گروه گرانیت‌های نوع S

**جدول ۲. نتایج تجزیه شیمیایی بیوتیت‌گرانیت‌های پورفیروئیدی میلونیتی شده (نمونه ۴۰۵) و گرانیت‌های آپلیتی (نمونه ۳۹۸) آیراکان به کمک روش‌های XRF و ICP-MS.**

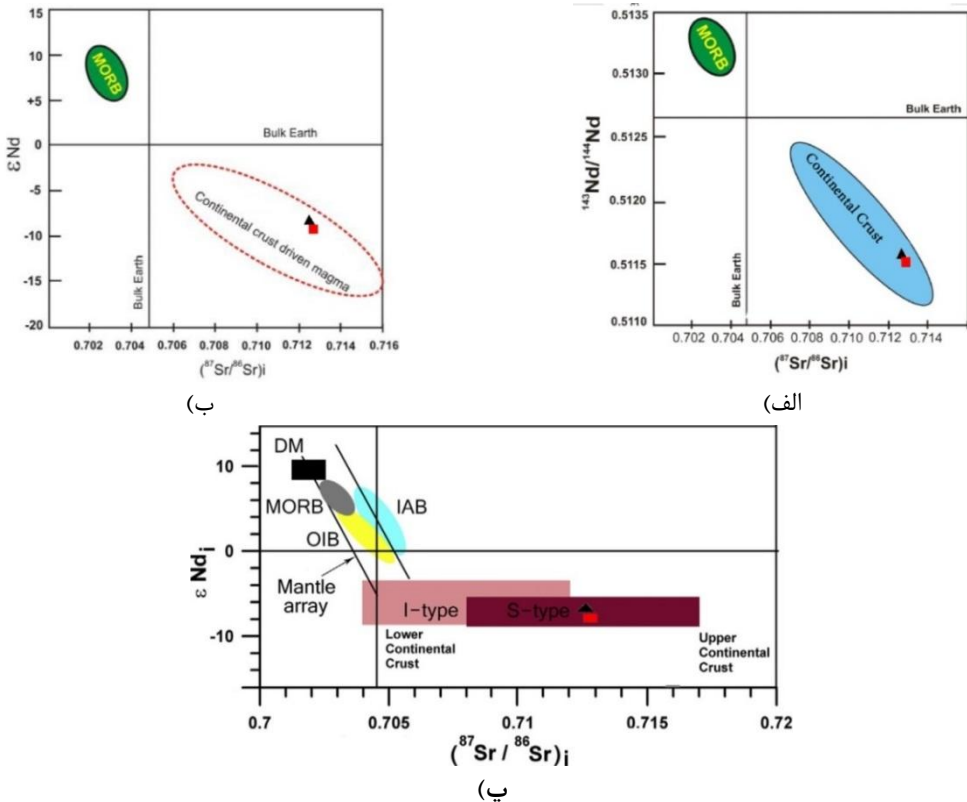
Sample No.	۴۰۵	۳۹۸	Sample No.	۴۰۵	۳۹۸
SiO <sub>2</sub>	۷۶/۱۵	۷۳/۵۱	Ba	۴۴۷	۷۳۰
TiO <sub>2</sub>	۰/۱۳	۰/۱۴	Th	۱۸/۷	۱۱/۳
Al <sub>2</sub> O <sub>3</sub>	۱۲/۵۷	۱۳/۰۳	U	۱/۷۶	۱/۹۱
Fe <sub>2</sub> O <sub>3t</sub>	۱/۴۴	۲/۳۶	Nb	۱۴/۵	۹/۹۱
MnO	۰/۰۱	۰/۰۴	Ta	۲/۳۵	۰/۷۳۴
MgO	۰/۳۳	۰/۰۲	Zr	۱۳۵/۵	۱۸۳/۵
CaO	۱/۰۷	۲/۲۲	Hf	۰/۵۲۳	۰/۲۷۷
Na <sub>2</sub> O	۲/۷۵	۲/۸۳	La	۳۹/۹	۳۲/۲
K <sub>2</sub> O	۴/۴۶	۳/۹۴	Ce	۷۹/۸	۶۰/۴
P <sub>2</sub> O <sub>5</sub>	۰/۰۶	۰/۱۰	Pr	۹/۴۳	۷/۱۳
L.O.I.	۱/۴۰	۱/۸۲	Nd	۳۵/۲	۲۷/۲
TOATAL	۱۰۰/۴۷	۱۰۰/۷۱	Sm	۷/۲۲	۵/۴۶
Sc	۵/۶۹	۷/۸۲	Eu	۰/۶۴۸	۱/۰۷
V	۱۹/۵	۳۷/۹	Gd	۶/۴۷	۵/۱۴
Cr	۳۴/۱	۲۳/۲	Tb	۱/۲۲	۱/۰۱
Co	۱/۸۱	۳/۱۳	Dy	۶/۳۷	۵/۶
Ni	۵/۸۸	۶/۸۴	Ho	۱/۱۳	۱/۰۶
Ga	۱۷/۸	۱۸/۳	Er	۳/۰۹	۲/۹۴
Rb	۱۶۲	۱۵۳	Tm	۰/۵۱۸	۰/۴۹۴
Sr	۹۳/۱	۲۰۱	Yb	۳/۰۸	۲/۹۷
Y	۳۲/۶	۳۲/۶	Lu	۰/۳۹۹	۰/۴۰۷
Cs	۳/۹۵	۶/۵۳			

## ۲. زمین‌شناسی ایزوتوبی Sr-Nd

علاوه بر ویژگی‌های ژئوشیمیایی، شواهد کانی‌شناسی و شیمی‌کانی‌ها، مقادیر نسبت‌های ایزوتوبی  $^{87}\text{Sr}/^{86}\text{Sr}_i$ ،  $\epsilon\text{Nd}$  و  $^{143}\text{Nd}/^{144}\text{Nd}_i$  و بیوتیت‌گرانیت‌های پورفیروئیدی میلونیتی شده و گرانیت‌های آپلیتی آیراکان با ماهیت نوع S آن‌ها سازگاری دارد. به طوری که مقادیر  $^{87}\text{Sr}/^{86}\text{Sr}_i$  بیوتیت‌گرانیت‌های دانه‌درشت تا پورفیروئیدی میلونیتی شده و گرانیت‌های آپلیتی به ترتیب  $۰/۷۱۲۷۱۴$  و  $۰/۷۱۲۴۹۰$  و مقادیر  $^{143}\text{Nd}/^{144}\text{Nd}_i$  نیز به ترتیب برابر  $۰/۵۱۱۵۲۲۷$  و  $۰/۵۱۱۵۸۱$  است. این مقادیر همراه با مقادیر منفی  $\epsilon\text{Nd}$   $-۸/۱۹$  و  $-۷/۱۳$  نشان‌دهنده سرچشمۀ گرفتن آن‌ها از یک منشأ پوسته قاره‌ای است (جدول ۳). مقدار نسبت‌های ایزوتوبی  $^{87}\text{Sr}/^{86}\text{Sr}_i$  در گرانیت‌های نوع S بالا بوده و بیشتر از مقدار  $۰/۷۰۸$  است [۲۶، ۲۷]. با توجه به نمودار تغییرات نسبت ایزوتوبی  $^{143}\text{Nd}/^{144}\text{Nd}_i$  و  $\epsilon\text{Nd}$  در مقابل  $^{143}\text{Nd}/^{144}\text{Nd}_i$  [۲۳] و [۳۸] گرانیت‌های آپلیتی آیراکان از ذوب‌بخشی متاپلیت‌های پوسته‌قاره‌ای نشأت گرفته‌اند و در رده گرانیت‌های نوع S جای می‌گیرند (شکل ۷).

**جدول ۳. نتایج تجزیه ایزوتوبی بیوتیت‌گرانیت‌های دانه‌درشت تا پورفیروئیدی میلونیتی شده و گرانیت‌های آپلیتی آیراکان**

Sample	$^{143}\text{Nd}/^{144}\text{Nd}$ (initial)	$\epsilon\text{Nd}$	$^{87}\text{Sr}/^{86}\text{Sr}$	$^{87}\text{Rb}/^{86}\text{Sr}$	$^{87}\text{Sr}/^{86}\text{Sr}$ (initial)	Age (Ma)
۴۰۵	۰/۵۱۲۲۱۹	۰/۵۱۱۵۲۷	-۸/۱۹	۰/۷۴۰۱۵۸	۳/۵۳۲۵	۰/۷۱۲۷۱۴
۳۹۸	۰/۵۱۲۲۵۶	۰/۵۱۱۵۸۱	-۷/۱۳	۰/۷۲۳۰۸۷	۱/۳۸۴۴	۰/۷۱۲۴۹



شکل ۷. (الف) نمودار تغییرات نسبت ایزوتوبی  $^{143}\text{Nd}/^{144}\text{Nd}$  در مقابل  $^{87}\text{Sr}/^{86}\text{Sr}_i$  [۲۸] برای بیوپتیت‌گرانیت‌های دانه‌درشت تا پورفیروئیدی میلیونیتی شده و گرانیت‌های آپلیتی آیراکان، (ب) نمودار تغییرات نسبت ایزوتوبی  $^{143}\text{Nd}/^{144}\text{Nd}$  در مقابل  $^{87}\text{Sr}/^{86}\text{Sr}_i$  [۲۸] برای بیوپتیت‌گرانیت‌های دانه‌درشت تا پورفیروئیدی میلیونیتی شده و گرانیت‌های آپلیتی آیراکان، (پ) نمودار تغییرات نسبت ایزوتوبی  $^{143}\text{Nd}/^{144}\text{Nd}$  در مقابل  $^{87}\text{Sr}/^{86}\text{Sr}_i$  [۲۸] برای بیوپتیت‌گرانیت‌های دانه‌درشت تا پورفیروئیدی میلیونیتی شده و گرانیت‌های آپلیتی آیراکان: پوسته‌قاره‌ای بالایی [۲۹]، پوسته قاره‌ای پایینی [۲۸]، [۳۰]، [۳۱]، بازالت‌های پشت‌های میان‌اقیانوسی MORB [۳۲]، [۳۳]، گوشته‌تهی شده DM [۳۳]، بازالت‌های جزایر اقیانوسی OIB [۳۴]، بازالت‌های جزایر قوسی IAB [۳۵]، آرایه گوشته‌ای [۳۶] تا [۳۸]، گرانیت نوع S و I [۲۳]

### ۳. سن سنجی

تاکنون، جای‌گاه سنی بیوپتیت‌گرانیت‌های دانه‌درشت تا پورفیروئیدی میلیونیتی شده آیراکان براساس شواهد چینه‌شناختی یا روش‌های سن‌سنجی نامناسب، تعبیر و تفسیر شده است. به طوری که در برخی موارد آن‌ها را به ژوراسیک‌میانی نسبت داده‌اند. بهارزاده [۳] و بهارزاده و همکاران [۴] بر اساس بررسی‌های سن‌سنجی صورت گرفته بر روی گرانیت‌های آیراکان توسط [۵] بدروش  $\text{Rb/Sr}$ ، سن  $168 \pm 8$  میلیون سال معادل با ژوراسیک میانی را به این سنگ‌ها نسبت داده‌اند. نتایج سن‌سنجی U-Pb روی زیرکن‌های جدا شده از بیوپتیت‌گرانیت‌های دانه‌درشت تا پورفیروئیدی میلیونیتی شده و گرانیت‌های آپلیتی آیراکان به روشنی و با دقت و درستی بالا نشان می‌دهند که این سنگ‌ها به نئوپروتربوزوئیک پایانی تا احتمالاً کامبرین‌زیرین تعلق دارند (جدول ۳). بررسی مطالعات جدید از جمله کارگران بافقی [۳۹]-[۴۳]، مسعودی و همکاران [۴۴]، جمالی آشتیانی [۴۵] نشان می‌دهد که در واقع سن‌های جوان‌تر از نئوپروتربوزوئیک پایانی که بر اساس روش‌های سن‌سنجی غیر از U-Pb، Ar-Ar، K-Ar و در برخی موارد Rb-Sr به دست آمده‌اند، در حقیقت سن حوادث بعدی به ویژه دگرگونی‌های درجه پایین‌تر صورت گرفته در سیمرین (اواخر تریاس تا ژوراسیک بالایی) را نشان می‌دهند.

زیرکن‌های جدا شده از سنگ‌های گرانیتی آیراکان، بیشتر خودشکل، منشوری و دارای منطقه‌بندی ترکیبی هستند. زیرکن به عنوان بهترین زمین‌زنگ (ژئوکرنومتر) برای واپاشی رادیواکتیو اورانیوم به سرب به حساب می‌آید [۴۶، ۴۷]. سن‌سنجی به روش SIMS و در آزمایشگاه سن‌سنجی مؤسسه زمین‌شناسی و ژئوفیزیک آکادمی علوم چین که دارای شهرت و اعتبار جهانی است انجام شده، از این رو، نتایج به دست آمده (جدول ۴) قابل اعتماد هستند. تصاویر کاتدولومینسانس برخی زیرکن‌های جدا شده از نمونه‌های سنگی بررسی شده در شکل ۸ نشان داده شده است. نتایج سن‌سنجی، سن  $11 \pm 545$  میلیون سال را برای بیوتیت‌گرانیت‌های دانه‌درشت تا پورفیروئیدی میلیونیتی شده و سن  $537 \pm 38$  میلیون سال را برای گرانیت‌های آپلیتی نشان می‌دهند (شکل ۸). باقی و اشتامفلی [۶] نیز سن  $549 \pm 15$  میلیون سال معادل با نئوپروتروزئیک پایانی را برای بیوتیت‌گرانیت‌های پورفیروئیدی میلیونیتی شده آیراکان اعلام کرده‌اند. این اعداد و ارقام نشان می‌دهد که سن‌سنجی‌های انجام شده هم‌دیگر را تأیید می‌کنند. همراهی بیوتیت‌گرانیت‌های دانه‌درشت تا پورفیروئیدی میلیونیتی شده با گرانیت‌های آیراکان کم‌تر میلیونیتی شده، و تشابه کلی آن‌ها از لحاظ رفتارهای ژئوشیمیایی، سن و ترکیب سنگ‌کل، به وجود روابط ژنتیکی بین گرانیت‌های نامبرده اشاره دارد. براساس ترکیب کانی‌شناسی وجود آنکلاوهای میکاشیستی موجود در بیوتیت‌گرانیت‌های دانه درشت تا پورفیروئیدی می‌توان گفت گرانیت‌های آیراکان از ذوب‌بخشی پوسته‌قاره‌ای متاپلیتی پوسته‌میانی تشکیل شده‌اند. گرانیت‌های آپلیتی نیز از تبلور مذاب‌های مرتب با فازهای ماقمایی تأخیری به وجود آمده‌اند.

لازم به ذکر است انجام سن‌سنجی بر روی سنگ‌های گرانیت‌های پورفیروئیدی میلیونیتی شده و گرانیت‌های با دامنه سنی مشابه، در بخش‌های مختلف ایران مرکزی، همگی به سن نئوپروتروزئیک پسین-کامبرین پیشین اشاره دارند [۸-۱۳، ۴۸-۵۹]. با توجه به یافته‌های این پژوهش‌گران، سنگ‌والدهای رسوبی تخریبی قدیمی و سنگ‌های آذرین همراه آن‌ها به سن اواخر نئوپروتروزئیک، تا حد رخساره‌های شیست‌سیز، آمفیبولیت، گارنت آمفیبولیت و احتمالاً گرانولیت، دگرگون شده‌اند. در آستانه شرایط دما-فشار مرز ذوب متاپلیت‌ها، متاپلیت‌ها به طور موضعی متحمل ذوب‌بخشی شده‌اند و میگماتیت‌های فلزیک تشکیل شده‌اند. در نوارهای دگرگونی نوع بارووین فشار بالا، میگماتیت‌ها در انتهای رخساره آمفیبولیت بالایی (زون سیلیمانیت دوم) و بیشتر در رخساره گرانولیت، ایجاد می‌شوند. این پدیده، از ویژگی‌های بارز مجموعه‌های هسته دگرگونی (core complexes) است [۶۰].

#### ۴. بررسی رابطه بین گرانیت‌های آیراکان با گرانیت‌های سرزمین‌های همجوار

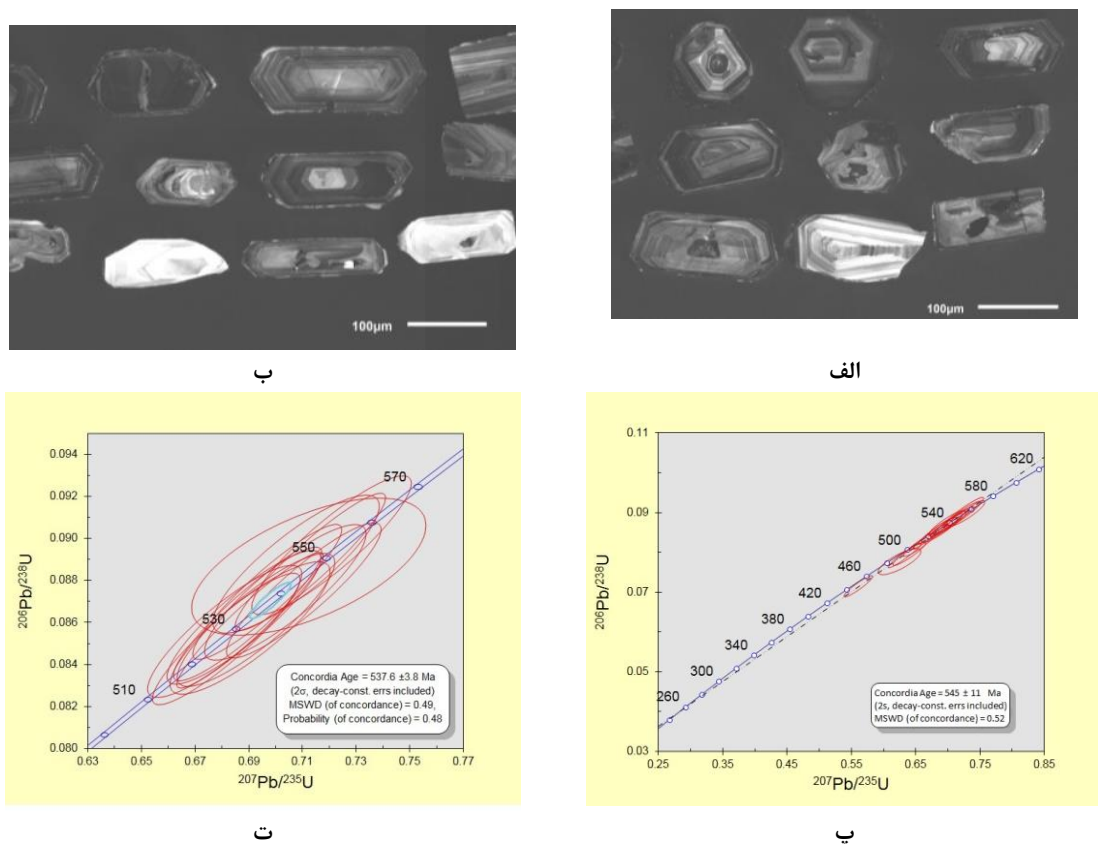
چنان‌که در مبحث زمین‌شناسی منطقه ذکر شد چند توده گرانیت‌های تقریباً مشابه در درون مجموعه دگرگونی-آذرین جندق-عروسان نفوذ کرده و در آن جای‌گزین شده‌اند. گرانیت‌های این مناطق همانند گرانیت‌های آیراکان دارای کانی‌شناسی ساده شامل کوارتز، ارتوکلاز، پلاژیوکلاز و بیوتیت هستند. سن به دست آمده برای گرانیت‌های آیراکان با سن‌های به دست آمده برای این سرزمین‌ها تشابه بسیار زیادی دارد.

این گرانیت‌ها علاوه بر داشتن شباهت‌های کانی‌شناختی و سنی، دارای خصوصیات ژئوشیمیایی مشابه نیز هستند (شکل ۹)، به طوری‌که تمام این گرانیت‌ها در محدوده سنگ‌های گرانیتی کالک‌آلکالن پتاسیم بالا قرار می‌گیرند. در نمودارهای نشان‌دهنده الگوی تغییرات عناصر خاکی نادر و نمودارهای عنکبوتی به هنگار شده نسبت به کندریت و

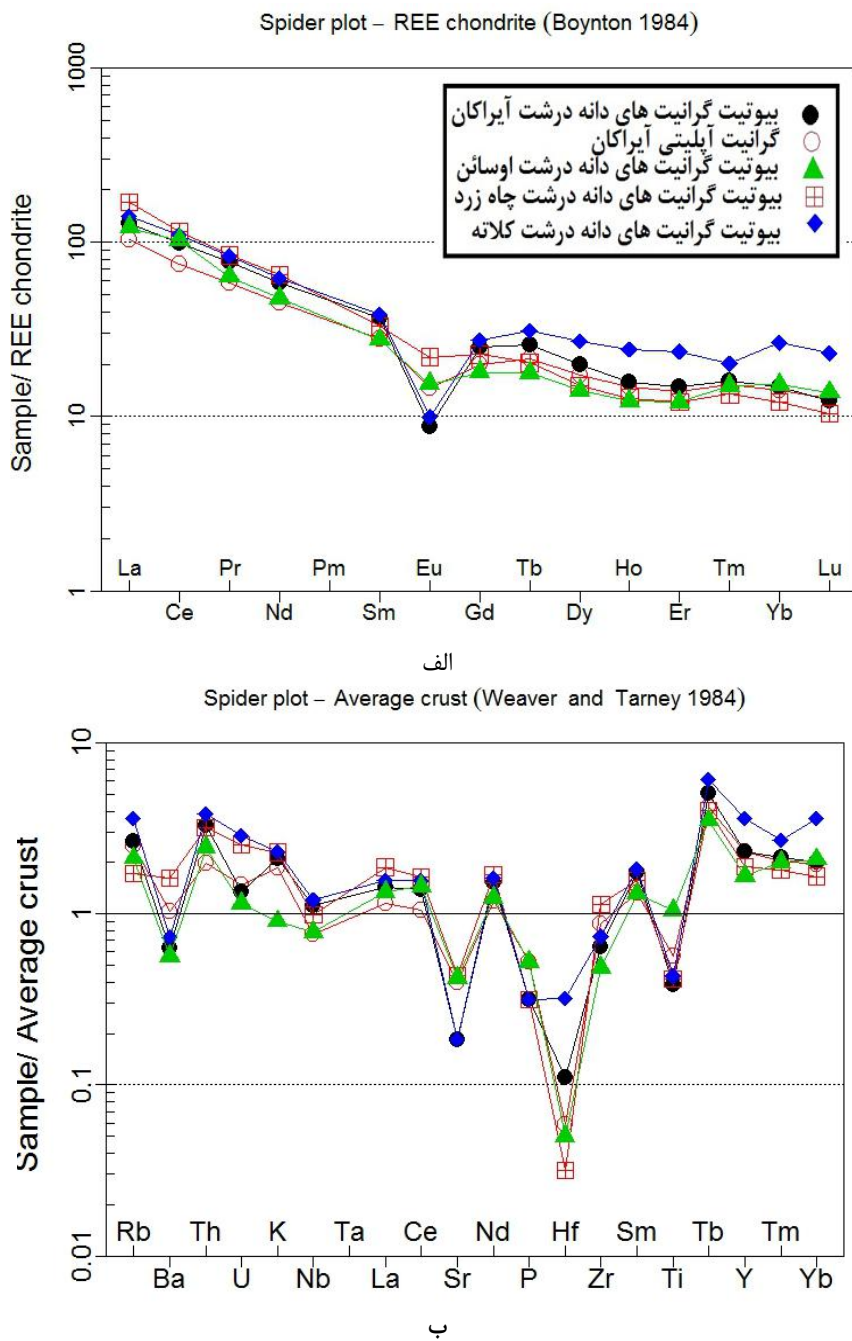
میانگین پوسته (به ترتیب) روند بسیار مشابهی با یکدیگر نشان می‌دهند. این رفتار ژئوشیمیایی مشابه بیان گر رابطه ژنتیکی بین آن‌ها است (شکل ۹).

جدول ۴. نتایج تجزیه ایزوتوبی و سن‌سنگی U-Pb به روی SIMS روش زیرکن‌های نمونه‌ای از بیوتیت گرانیت‌های دانه‌درشت تا پورفیروئیدی میلدونیتی شده آیراکان (نمونه ۴۰۵) و نمونه گرانیت‌های آپلتیتی آیراکان (نمونه ۳۹۸)

Sample spot#	$^{207}\text{Pb}/^{235}\text{U}$	$\pm\sigma\%$	$^{206}\text{Pb}/^{238}\text{U}$	$\pm\sigma\%$	$\rho$	207-corr age (Ma)	$\pm\sigma\%$
۳۹۸-۱۴	-/۰۵۳۷۲۷	۱/۷۹	-/۰۶۸	۱/۶۶	-/۰۹۲۸۸۴	۴۲۲/۱	۶/۹
۳۹۸-۰۲	-/۰۸۱۹۳	۱/۶۰۷	-/۰۷۳۲	۱/۵	-/۰۹۳۵۱۹	۴۵۴/۲	۶/۶۹
۳۹۸-۱	-/۰۵۷۹۱۲	۲/-۰۳۷	-/۰۷۳۸	۱/۵۱	-/۰۷۴۲۰۴	۴۵۸/۳	۶/۸
۳۹۸-۰۷	-/۰۶۲۹۰۴	۱/۷۱۴	-/۰۷۹۴	۱/۵	-/۰۸۷۷۹۹	۴۹۲/۶	۷/۲۶
۳۹۸-۰۵	-/۰۶۴۰۰۶	۱/۶۰۵	-/۰۸۱۶	۱/۵	-/۰۹۳۶۸۲	۵۰۶	۷/۴۴
۳۹۸-۱۲	-/۰۶۸۰۰۹	۱/۷۳۶	-/۰۸۴۱	۱/۵	-/۰۸۶۴۰۸	۵۲۰/۶	۷/۶۴
۳۹۸-۰۸	-/۰۶۸۱۶۳	۱/۶۴۹	-/۰۸۵۲	۱/۵	-/۰۹۰۹۶۷	۵۲۷/۱	۷/۷۳
۳۹۸-۱۰	-/۰۶۸۱۰۴	۱/۷۲۲	-/۰۸۵۶	۱/۵	-/۰۸۷۱۴۱	۵۲۹/۵	۷/۷۷
۳۹۸-۱۱	-/۰۶۹۰۴۸	۱/۷۶۳	-/۰۸۵۷	۱/۵	-/۰۸۵۱۰۸	۵۳۰	۷/۷۸
۳۹۸-۱۸	-/۰۶۹۰۵۳	۱/۶۱۶	-/۰۸۶۱	۱/۵۳	-/۰۹۴۶۹۳	۵۳۲/۴	۷/۹۶
۳۹۸-۰۹	-/۰۶۹۲۷۱	۱/۷۳۱	-/۰۸۶۱	۱/۵	-/۰۸۶۷	۵۳۲/۴	۷/۸۱
۳۹۸-۰۴	-/۰۶۸۸۲۳	۱/۷	-/۰۸۶۲	۱/۵۱	-/۰۸۸۶۳۴	۵۳۳/۴	۷/۸۶
۳۹۸-۱۹	-/۰۶۸۹۶	۱/۶۳۷	-/۰۸۶۴	۱/۵	-/۰۹۱۸۲۷	۵۳۴/۴	۷/۸۵
۳۹۸-۱۶	-/۰۷۰۳۶۴	۱/۷۴۵	-/۰۸۷۴	۱/۵۱	-/۰۸۶۴۴۳	۵۴۰/۳	۷/۹۷
۳۹۸-۱۷	-/۰۶۹۶۸۹	۱/۶۲۶	-/۰۸۷۵	۱/۵	-/۰۹۲۲۲۵	۵۴۰/۸	۷/۹۳
۳۹۸-۰۶	-/۰۷۱۰۴۸	۱/۶۵۶	-/۰۸۷۵	۱/۵	-/۰۹۰۵۶۶	۵۴۰/۵	۷/۹۲
۳۹۸-۱۳	-/۰۷۱۲۳۵	۲/۵۰۲	-/۰۸۸۷	۱/۵	-/۰۶۰۰۵۴	۵۴۷/۷	۸/۰۶
۳۹۸-۲۰	-/۰۷۰۷۶	۱/۷۸۹	-/۰۸۸۸	۱/۵۱	-/۰۸۴۴۵۸	۵۴۸/۸	۸/۱۱
۳۹۸-۱۵	-/۰۷۱۲۹۴	۱/۶۰۶	-/۰۸۸۹	۱/۵	-/۰۹۳۴۱۴	۵۴۹/۲	۸/۰۵
۳۹۸-۰۳	-/۰۷۲۰۸۱	۱/۶۸۴	-/۰۸۹۷	۱/۵	-/۰۸۹۳۴۴	۵۵۳/۸	۸/۱۴
۴۰۵-۰۶	-/۰۵۶۰۶۱	۱/۶۳	-/۰۷۱۵	۱/۵۱	-/۰۹۳	۴۴۴/۵	۶/۶
۴۰۵-۰۸	-/۰۶۲۴۷۴	۲/۱۸	-/۰۷۷۷	۱/۷۱	-/۰۷۹	۴۸۱/۲	۸/۱
۴۰۵-۲۰	-/۰۶۳۲۷۹	۱/۶۷	-/۰۷۹۲	۱/۶	-/۰۹۶	۴۹۰/۹	۷/۷
۴۰۵-۱۰	-/۰۶۴۰۰۹	۱/۶۴	-/۰۷۹۷	۱/۵۲	-/۰۹۳	۴۹۳/۴	۷/۳
۴۰۵-۱۴	-/۰۶۵۰۰۵	۱/۶۴	-/۰۸۲۱	۱/۵۳	-/۰۹۴	۵۰۸	۷/۸
۴۰۵-۱۹	-/۰۶۷۱۳۲	۱/۵۵	-/۰۸۴	۱/۵	-/۰۹۷	۵۱۹/۷	۷/۶
۴۰۵-۱۲	-/۰۶۸۰۸۹	۱/۶۴	-/۰۸۵۴	۱/۵۸	-/۰۹۷	۵۲۸/۱	۸/۲
۴۰۵-۱۸	-/۰۶۸۷۱۴	۱/۶۶	-/۰۸۵۶	۱/۵	-/۰۹۱	۵۲۹/۴	۷/۸
۴۰۵-۱۳	-/۰۶۹۵۵	۱/۶۱	-/۰۸۶۵	۱/۵۳	-/۰۹۵	۵۳۴/۵	۸
۴۰۵-۱۶	-/۰۶۹۹۶۹	۱/۵۶	-/۰۸۷۱	۱/۵۱	-/۰۹۷	۵۳۸/۴	۷/۹
۴۰۵-۱۵	-/۰۶۹۹۵۸	۱/۷۱	-/۰۸۷۳	۱/۵۱	-/۰۸۸	۵۳۹/۶	۷/۹
۴۰۵-۰۹	-/۰۷۰۴۰۳	۱/۵۵	-/۰۸۷۷	۱/۵	-/۰۹۷	۵۴۱/۹	۸
۴۰۵-۱	-/۰۷۱۲۰۴	۱/۵۸	-/۰۸۸۳	۱/۵۲	-/۰۹۶	۵۴۵/۵	۸/۱
۴۰۵-۰۳	-/۰۷۲۳۱۳	۱/۶۱	-/۰۸۹۳	۱/۵۵	-/۰۹۶	۵۵۱/۵	۸/۳
۴۰۵-۰۲	-/۰۷۲۷۱	۱/۷	-/۰۸۹۷	۱/۵	-/۰۸۸	۵۵۳/۷	۸/۱
۴۰۵-۰۵	-/۰۷۲۴۷۱	۱/۷۴	-/۰۹۰۲	۱/۶۴	-/۰۹۴	۵۵۷	۸/۹
۴۰۵-۰۴	-/۰۸۰۸۸۶	۱/۶۷	-/۰۹۷۶	۱/۵۳	-/۰۹۱	۶۰۰	۸/۹



**شکل ۸. تصاویر CL** (Cathodoluminescence) برخی زیرکن‌های جدا شده از (الف): بیوپتیت‌گرانیت‌های دانه درشت تا پورفیروئیدی میلیونیتی شده، ب). گرانیت‌های آپلیتی، پ). نمودارهای سازگاری سن‌های  $\text{U-Pb}$  زیرکن‌های جدا شده از بیوپتیت‌گرانیت‌های پورفیروئیدی میلیونیتی شده، ت) و گرانیت‌های آپلیتی مجموعه آیراکان به‌طور کلی الگوی تغییرات عناصر کمیاب خاکی روی نمودار به‌亨جار شده نسبت به کندریت [۶۱] نشان می‌دهد این سنگ‌ها دارای آنومالی منفی Eu و غنی‌شدگی از LREE هستند و برای عناصر HREE الگوی مسطحی نشان می‌دهند. در نمودار چند عنکبوتی به‌亨جار شده نسبت به میانگین پوسته [۶۲] عناصر بزرگ یون لیتوفیل مانند عناصر گرانیت‌های بررسی شده با داشتن این ویژگی‌ها ذکر شده و مطالبی که قبلاً بیان شد، گرانیت‌های با منشأ پوسته‌ای و از نوع S پرآلومین محسوب می‌شوند. عناصر Y, Th, Yb, Sm, Ce, La غنی‌شدگی نسبی و عناصر U مقادیر نزدیک به مقدادر میانگین پوسته را نشان می‌دهند. این ویژگی با بررسی ایزوتوپی این سنگ‌ها نیز تأیید می‌شوند. بنابراین می‌توان گفت این گرانیت‌ها از ذوب‌بخشی سنگ‌های متاپلیتی به سن نئوپروتروزوفیک سرزمین‌های گندوانایی ایران حاصل شده‌اند. این توده‌های گرانیت‌وئیدی هم‌زمان با جای‌گیری یا پس از تشکیل تحت تأثیر تنش‌های تکتونیکی به‌شدت دگرشکل شده‌اند و شواهد بارزی از دگربریختی شکل‌پذیر تا شکننده نشان می‌دهند. در طی این فرایندها، تغییرات تحولاتی کانی‌شناسی و بافتی ساختی و بارزی در آن‌ها ایجاد شده است که در مباحث قبلی به آن‌ها اشاره شده است.



شکل ۹. (الف) نمودار نشان‌دهنده شباهت بسیار زیاد الگوهای تغییرات عناصر خاکی نادر به‌هنگار شده نسبت به کندریت [۶۱] بیوپیت گرانیت‌های دانه درشت میلیونیتی شده جنوب‌باختر اوسان، شمال خاوری چاه‌زد، شمال خاوری کلاته قنبر و گرانیت‌های آیراکان نسبت با همدیگر، (ب) نمودار عنکبوتی به‌هنگار شده نسبت به میانگین پوسته قاره‌ای [۶۲] برای گرانیت‌های نامبرده شده

### نتیجه‌گیری

گرانیت‌های پورفیروئیدی میلیونیتی شده و گرانیت‌های آپلیتی آیراکان به ترتیب دارای سن‌های  $545 \pm 11$  و  $537 \pm 3/8$  میلیون سال پیش (ادیاکارن-کامبرین زیرین) هستند و در واقع بخشی از سرزمین‌های پی‌سنگی ایران محسوب می‌شوند. این سنگ‌ها بخشی از مجموعه دگرگونی-آذرین، جندق-عروسان هستند. بر اساس ویژگی‌های

کانی‌شناسی و سنگ‌شناسی بین بیوتیت‌گرانیت‌های دانه‌درشت تا پورفیروئیدی میلونیتی شده و گرانیت‌های آپلیتی آیراکان رابطهٔ ژنتیکی تنگاتنگی وجود دارد. گرانیت‌های نوع S آیراکان از ذوب‌بخشی پوسته قاره‌ای نئوپروتروزوئیک-پایانی در درجات بالای دگرگونی نشأت گرفته‌اند. داده‌های ایزوتوپی Sr-Nd نیز این امر را تأیید می‌کند. براساس یافته‌های جدید گرانیت‌های آیراکان یقیناً، بخشی از سرزمین‌های بی‌سنگی و گندوانایی ایران به سن اواخر نئوپروتروزوئیک-اوایل کامبرین هستند.

## سپاسگزاری

این پژوهش با حمایت‌های مالی حوزهٔ معاونت پژوهشی دانشگاه صنعتی شاهرود و با امکانات فرصت مطالعاتی اعطایی سازمان امور دانشجویان وزارت علوم، تحقیقات و فناوری انجام شده است. همچنین از پشتیبانی ابزار علمی دقیق مؤسسه زمین‌شناسی و ژئوفیزیک آکادمی علوم چین برخوردار است، از این‌رو، از آنان بهنحو شایسته تقدیر می‌شود. از داوران محترم که نظرات و پیشنهادات ارزشمند آن‌ها، به ارتقاء علمی و ادبی این مقاله منجر شد، نیز صمیمانه تشکر و قدردانی می‌کنیم.

## منابع

1. Babakhani A. R., Susov M., Dvoryankin A., Selivanov E., Desyaterik N., "Geological Quadrangle map of Jandaq, 1:250,000", Geological Survey of Iran Tehran, No. H6 (1987).
2. Reyer D., Mohafez S., "Une premiere contribution des accords NiOC-ERAP a connaissancegeologique de l' Iran", Revue de l InstitutFrancais du Petrole, 25 (1970) 979-1014.
3. بهارزاده حمیده، "مطالعهٔ پترولولوژی گرانیت آیراکان (شمال‌خاوری استان اصفهان)"، پایان‌نامهٔ کارشناسی‌ارشد، دانشگاه اصفهان (۱۳۸۷).
4. بهارزاده حمیده، ترابی قدرت، احمدیان جمشید، ابراهیمیان زهراء، "ژئوشیمی توده نفوذی آیراکان، دایک‌های آپلیتی و آنکلاوهای موجود در آن (شمال‌خاور استان اصفهان)"، مجلهٔ پژوهشی دانشگاه اصفهان شماره ۳(۱۳۸۷) ۳۲-۱۳.
5. Susov M., Dvoryankin A., Selivanov E., et al. "Geology and minerals of Jandaq area (Central Iran), Moscow", V/O "Technoexport", Report No. 4 (1979) 171.
6. Bagheri S., Stampfli G. M., "The Anarak, Jandaq and Posht-e-Badam metamorphic complexes in central Iran: new geological data, relationships and tectonic implications", Tectonophysics, 451 (2008) 123-155.
7. اسدی سیدعلی اکبر، "ژئوشیمی و تعیین سن ایزوتوپی سنگ‌های آذرین-دگرگونی کمپلکس نی‌باز در ایران مرکزی"، دانشگاه دامغان (۱۳۹۶).
8. حسینی سید حسین، "پترولولوژی و ژئوشیمی گرانیت بند هزارچاه بیار جمند"، پایان‌نامهٔ کارشناسی‌ارشد، گروه زمین‌شناسی، دانشگاه تهران (۱۳۷۴).

9. Hosseini S. H., Sadeghian M., Zhai M., Ghasemi H., "Petrology, geochemistry and zircon U-Pb dating of Band-e-Hezarchah metabasites (NE Iran): An evidence for back-arc magmatism along the northern active margin of Gondwana", *Chemie der Erde*, 75 (2015) 207-218.
10. همتی علی، "پترولولوژی و ژئوشیمی توده گرانیت‌بایدی میامی جنوب‌باختر میامی"، پایان‌نامه کارشناسی ارشد، دانشکده علوم زمین، دانشگاه صنعتی شهرود (۱۳۹۲).
11. صادقیان محمود، حسینی سیدحسین، همتی علی، شکاری سکینه، "سنگ‌شناسی، زمین‌شیمی و زمین زمان‌سنجد گرانیت‌بایدی‌های جنوب‌باختر میامی"، *مجله علوم زمین*، شماره ۱۰۳ (۱۳۹۶) ۴۱-۶۰.
12. Balaghi Z., Sadeghian M., Ghasemi H., Zhai M.G., Mohajjal M., "Zircon U-Pb ages, Hf isotopes and geochemistry of the schists, gneisses and granites in Delbar metamorphic igneous complex, SE of Shahrood (Iran): implications for Neoproterozoic geodynamic evolutions of central Iran", *Journal of Asian Earth science*, 92 (2014) 92-124.
13. بلاغی اینالو مریم، "پترولولوژی و ژئوشیمی مجموعه دگرگونی-آذرین دلبر، بیارجمند (جنوب‌خاور شهرود)", رساله دکترا، دانشکده علوم زمین، دانشگاه صنعتی شهرود (۱۳۹۳).
14. صادقیان محمود، "ویژگی‌های زمین‌شناسی بارز سرزمین‌های گندوانایی ایران به سن پروتزوژئیک پایانی-کامبرین زیرین به عنوان شاخص‌هایی برای شناخت بهتر و سریع‌تر آن‌ها"، مجموعه مقالات بیست و چهارمین همایش بلورشناسی و کانی‌شناسی ایران، دانشکده علوم زمین، دانشگاه صنعتی شهرود، (۱۳۹۵) ۷۰-۷۷.
15. قاسمی حبیب‌الله، "پتروگرافی و پتروژئز سنگ‌های دگرگونی، مبانی پتروگرافی و روش‌های مطالعه"، جلد اول، انتشارات دانشگاه صنعتی شهرود (۱۳۹۴).
16. Vernon R. H. "A practical guide to rock microstructure", Cambridge University Press. 655 (2004).
17. Trouw R. A. j., Passchier C. W., Wiersma D. J., "Atlas of mylonites and related microstructures", Springer, Berlin, 313 (2010).
18. قاسمی حبیب‌الله، "مبانی بافت‌ها و ریزساخت‌های سنگ‌های دگرگونی"، ترجمه، انتشارات دانشگاه صنعتی شهرود (۱۳۷۸).
19. Deer W. A., Howie R. A., Zussman J., "An Introduction to the rock forming minerals", Longman, London (1992).
20. Speer J. A., "Mica in igneous rocks. In: Micas, Bailey, S. W. Mineralogy Society of American", *Review in Mineralogy*, 13 (1984) 299-356.
21. Abdel Rahman A. M., "Nature of biotites from alkaline, calc alkaline and peraluminous magmas", *Journal of petrology*, 35 (2) (1994) 525-541.
22. Chappel B. W., White A. J. R., "Two Contrasting Granite Types: Expanded Abstract", *Pacific Geology*, 8 (1974) 173-174.
23. Chappell B. W., White A. J. R., "Two contrasting granite types: 25 years later", *Journal of Earth Science*, 48 (2001) 489-499.

24. Gou L. L., Zhang L. F., Lü Z., Shen T. T., "Geochemistry and geochronology of S-type granites and their coeval MP/HT meta-sedimentary rocks in Chinese southwest Tianshan and their tectonic implications", *Journal of Asian Earth Sciences*, 107 (2015) 151-171.
25. Gao Li-E., Zeng L., "Fluxed melting of metapelite and the formation of Miocene high-CaO two-mica granites in the Malashan gneiss dome, southern Tibet", *Geochimica et Cosmochimica Acta*, 130 (2014) 136-155.
26. Mazhari N., Malekzadeh Shafaroudi A., Ghaderi M., Star Lackey J., Farmer G. L., Karimpour M. H., "Geochronological and geochemical characteristics of fractionated I-type granites associated with the skarn mineralization in the Sangan mining region, NE Iran", *Ore Geology Reviews*, 84 (2017) 116-133.
۲۷. جزی محمد علی، کریمپور محمدحسن، ملکزاده، شفارودی آزاده، "مروری بر ژئوشیمی و ایزوتوپ Rb-Sr و Sm-Nd توده‌های نفوذی گرانیت‌ویایی ژراسیک میانی و ترشیاری: دیدگاهی نوین بر تکتونوماگماتیسم و کانی‌سازی این دوره زمانی ایران"، *مجله زمین‌شناسی اقتصادی*. شماره ۲، جلد ۴ (۱۳۹۱) ۱۶۸-۱۷۱.
28. Zindler A., Hart S. R., "Chemical geodynamics", *Annual Review of Earth and Planetary Sciences*, 14 (1986) 493-571.
29. Taylor S. R., McLennan S. M, "The continental crust: its composition and evolution", Blackwell, Oxford (1985).
30. Rollinson H. R., "Using geochemical data: evaluation, presentation, interpretation", Longman Scientific and Technical, (1993) 380.
31. Rudnick R. L., "Making continental crust", *Nature* 378 (1995) 571-578.
32. Sun S. S., McDonough W. F., "Chemical and isotopic systematics of oceanic basalts: implications for mantle composition and processes", *Geological Society of London Publication*, 42 (1989) 313-345.
33. McCulloch M. T., Bennett V. C., "Progressive growth of the Earth's continental crust and depleted mantle: geochemical constraints", *Geochimica et Cosmochimica Acta*, 58 (1994) 4717-4738.
34. Vervoort J. D., Patchett P. J., Blichert-Toft J., Albarede F., "Relationship between Lu-Hf and Sm-Nd isotopic systems in the global sedimentary system", *Earth and Planetary Science Letters*, 168 (1999) 79-99.
35. Arjmandzadeh R., Santos J. F., "Sr-Nd isotope geochemistry and tectonomagmatic setting of the Dehsalm Cu-Mo porphyry mineralizing intrusives from Lut Block, eastern Iran", *Journal of Earth Science*, 103 (2014) 123-140.
36. Wilson M., "Igneous Petrogenesis: A Global Tectonic Approach", Harper Collins Academic, London. (1989) 485.
37. Gill J. B., "Orogenic andesites and plate tectonics", Springer, New York (1981) 402.

38. McCulloch M. T., Kyser T. K., Woodhead J. D., Kinsley L., "Pb-Sr-Nd-O isotopic constraints on the origin of rhyolites from the Taupo volcanic zone of New Zealand: evidence for assimilation followed by fractionation of basalt", Contributions to Mineralogy and Petrology , 115 (3) (1994) 303-312.
39. Karagaranbafghi F., Foeken J. P. T., Guest B., Stuart F. M., "Cooling history of the Chapedony metamorphic core complex, central Iran: implications for the Eurasia-Arabia collision", Tectonophysics, 524-525 (2012) 100-107.
40. Kargaranbafghi F., Neubauer F., Genser J., Houshmandzadeh A., "The Eocene Chapedony metamorphic core complex in Central Iran: preliminary structural results", Geophysical Research Abstracts, 8 (2006) EGU06-A-05008.
41. Kargaranbafghi F., Neubauer F., Genser J., Houshmandzadeh A., "40Ar/39Ar constraints on the tectonothermal evolution of the Chapedony metamorphic core complex, Central Iran", Geophysical Research Abstracts, 9 (2007) EGU07-A-07387.
42. Kargaranbafghi F., Neubauer F., Genser J., "The Mesozoic-Cenozoic tectonic evolution of western Central Iran seen through detrital white mica", Geophysical Research Abstracts, 11 (2009) EGU 09-A-7969.
43. Kargaranbafghi F., Neubauer F., Genser J., Faghih A., Kusky T., "Mesozoic to Eocene ductile deformation of western central Iran: from Cimmerian collisional orogeny to Eocene exhumation", Tectonophysics, 564-565 (2012) 83-100.
44. Masoodi M., Yassaghi A., Nogole Sadat M. A. A., Neubauer F., Bernroider M., Friedl G., Genser J., Houshmandzadeh A., "Cimmerian evolution of the Central Iranian Basement: evidence from metamorphic units of the Kashmar-Kerman Tectonic Zone", Tectonophysics, 588 (2013) 189-208.
45. جمالی آشتیانی رضوانه، حسن‌زاده جمشید، رهگشاپی محمد، "دگرگونه‌های زاینده‌رود، شمال شهرکرد: دو تفسیر به کلی متفاوت از یک مجموعه پی سنگی در نقشه‌های زمین شناسی نجف‌آباد و چادگان". مجله علوم زمین (۱۳۹۶) ۹۵-۱۰۲.
46. Harley S. L., Kelly N. M., "Zircon tiny but timely", Elements, 3 (2007) 13-18.
47. Xu H., Zhang J., "Anatexis witnessed post-collisional evolution of the Dabie orogen, China", Journal of Asian Earth Sciences, 145(A) (2017) 278-296.
48. ملک‌پور علمداری احمد رضا، "مطالعه پتروفابریک و تعیین سن سنگ‌های دگرگونی ناحیه‌ای در کوه‌های علاءالدین و ملحدو، جنوب خاور شاهروド"، پایان‌نامه کارشناسی ارشد، دانشکده علوم‌زمین، دانشگاه تهران (۱۳۸۴).
49. قاسمی حبیب‌الله و آسیابانه، عباس، "معرفی و تفکیک رخدادهای دگرگونی منطقه دلبر، جنوب خاور بیار جمند، ایران مرکزی"، مجله پژوهشی دانشگاه اصفهان (۱۳۸۵) ۲۳۱-۲۴۷.
50. عابدی زهرا، "پترولوژی و ژئوشیمی توءه گرانیت‌ویویدی میامی (خاور شاهروド)", پایان‌نامه کارشناسی ارشد، دانشکده علوم‌زمین، دانشگاه صنعتی شاهروド (۱۳۸۸).

۵۱. عزیزی محبوبه، "پترولوزی و ژئوشیمی توده گرانیتووییدی سفیدسنگ و سنگ‌های دگرگونی میزان آن (جنوب بیارجمند)", پایان نامه کارشناسی ارشد، دانشکده علوم زمین، دانشگاه صنعتی شاهروд (۱۳۹۱).
۵۲. چکنی مقدم محسن، "بررسی سازوکار توزیع مذاب در دایک‌های مافیک قطع‌کننده مجموعه دگرگونی آذرین دلیر (خاور بیارجمند) بهوسیله روش AMS، و تعیین موقعیت دیرینه مغناطیس آن‌ها، پایان نامه کارشناسی ارشد، دانشکده علوم زمین، دانشگاه صنعتی شاهرود (۱۳۹۱).
۵۳. ویس کرمی مرضیه، صادقیان محمود، شکاری سکینه، "ژئوکرونولوزی گرانیتووییدهای پروتروزوئیک پایانی شمال آغل کندو (جنوب دوچاه-جنوب خاور شاهرود)"، مجموعه مقالات بیست و چهارمین همایش بلورشناسی و کانی‌شناسی ایران، دانشکده علوم زمین، دانشگاه صنعتی شاهرود (۱۳۹۵) ۳۹۸-۳۹۲.
۵۴. خبره دلام، "پترولوزی، ژئوشیمی مجموعه دگرگونی-آذرین رضا آباد (جنوب خاور شاهرود)"، پایان نامه کارشناسی ارشد، دانشکده علوم زمین، دانشگاه صنعتی شاهروド (۱۳۹۶).
۵۵. حسینی سیدحسین، "پترولوزی، ژئوشیمی و ژئوکرونولوزی توده گرانیتووییدی بند هزارچاه بیارجمند (جنوب خاور شاهرود)"، رساله دکتری، دانشکده علوم زمین، دانشگاه صنعتی شاهرود (۱۳۹۴).
۵۶. بلاغی اینالو مریم، "پترولوزی و ژئوشیمی مجموعه دگرگونی-آذرین دلیر، بیارجمند (جنوب خاور شاهرود)"، رساله دکترا، دانشکده علوم زمین، دانشگاه صنعتی شاهرود (۱۳۹۳).
57. Hassanzadeh J., Stockli D., Horton B., Axen G., Stockli L., Grove M., Shmitt A., Walker D., "U-Pb zircon geochronology of late Neoproterozoic -Early Cambrian granitoids in Iran: Implications for paleogeography, magmatism, and exhumation history of Iranian Basement", tectonophysics, 451 (2008) 71-96.
58. Rahmati-Ikhchchi M., Faryad S. W., Holub F. V., Košler J. and Frank W., "Magmatic and metamorphic evolution of the Shotur Kuh metamorphic complex (central Iran)", International Journal of Earth Sciences, 100 (2011) 45-62.
59. Shafaii Moghadam H., Khademi M., Hu H., Stern R. J., Santos J. F. and Wu Y., "Cadomian (Ediacaran Cambrian) arc magmatism in the Chah Jam-Biarjmand Metamorphic Complex (Iran): magmatism along the northern active margin of Gondwana", Gondwana Research, 27 (2015) 439-452.
۶۰. قاسمی حبیب‌الله، "پتروگرافی و پتروژنز سنگ‌های دگرگونی، پتروژنز گروه‌های ترکیبی و محیط‌های زمین‌ساختی رخداد دگرگونی"، جلد دوم، انتشارات دانشگاه صنعتی شاهرود (۱۳۹۵).
61. Boynton W. V., "Cosmochemistry of the earth elements: Meteorite Studies", Elsevier, Amsterdam (1984) 89-92.
62. Weaver B., Tarney J., "Empirical approach to estimating the composition of the continental crust", Nature, 310 (1984) 575-57.